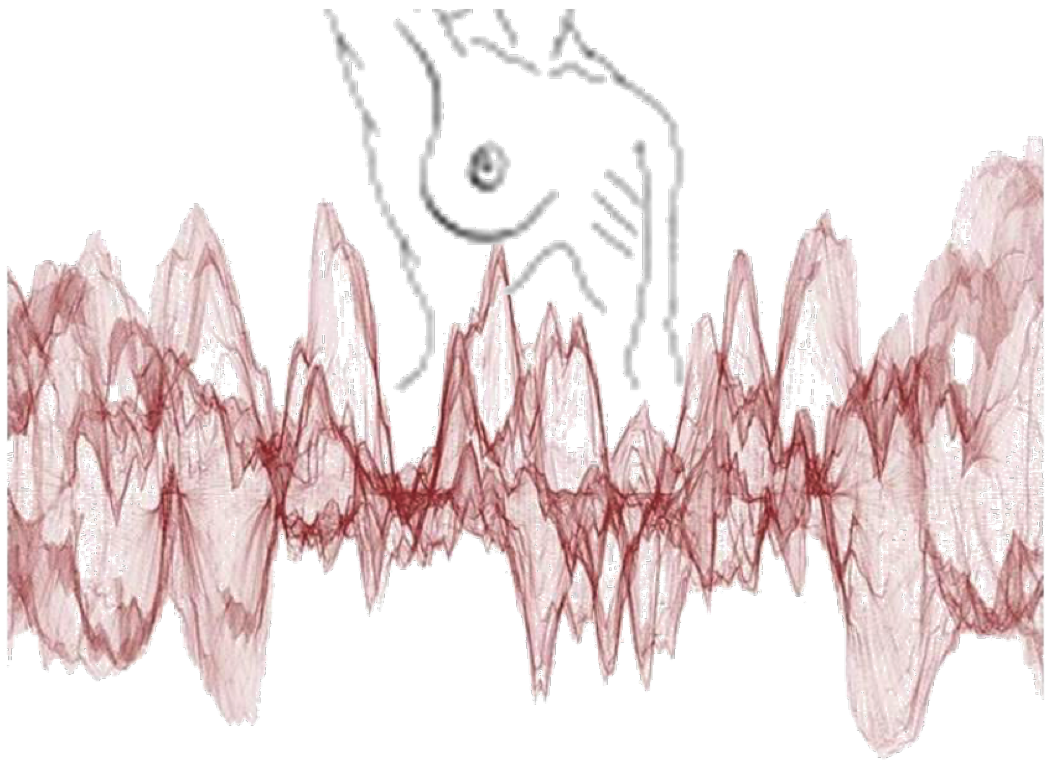

DESIGN AF AKUSTISK VOLUMENMÅLING AF BRYST

PROJEKTDOKUMENTATION

Den 02. januar 2017



Jannie Thorup Hansen

11089

Diplomingeniørstuderende i
sundhedsteknologi

June Richter

10871

Diplomingeniørstuderende i
sundhedsteknologi

Bachelorprojekt - projektnr. 16119

Vejleder: Samuel Alberg Thrysøe

Ingeniørhøjskolen, Aarhus Universitet

Forord

Denne rapport indeholder dokumentation for bachelorprojektet *Design af akustiske volumenmålinger af bryster*. Rapporten indeholder kravspecifikation, accepttest, dokumentation af projektets design og implementeringsfase.

Kravspecifikationen er udarbejdet i samarbejde med Pavia Lumholt, speciallæge i plastikkirurgi på OPA Privathospital, Aarhus.



Jannie Thorup Hansen, 11089



June Richter, 10871

Læsevejledning

Projektrapporten indeholder primært metoder, resultater samt diskussioner til det udarbejde produkt. Gennem rapporten vil referencer fremtræde, som i hht. Harvard-metoden, refereres i teksten med (*Efternavn, år*). Referencer fremgår samlet i en referenceliste, bagerst i rapporten. I rapportens ende findes endvidere de udarbejdet bilag.

Ordliste over forkortelser

Forkortelse	Betydning
BDD	Block Definition Diagram
BVM	Brystvolumenmåler
IBD	Internal Block Diagram
JH	Jannie Thorup Hansen
JR	June Richter
MVP	Minimum Viable Product
PL	Pavia Lumholt
SAT	Samuel Alberg Thrysøe
UC1	Use case 1

Indholdsfortegnelse

Kapitel 1	Kravspecifikation	1
1.1	Indledning	1
1.1.1	Formål	1
1.1.2	Læsevejledning	1
1.1.3	Versionshistorik	1
1.2	Systembeskrivelse	2
1.2.1	Den konceptuelle brystvolumenmåler	2
1.2.2	Brystvolumenmåleren funktionalitet	2
1.2.3	Aktørbeskrivelse	2
1.3	Funktionelle krav	4
1.3.1	Use Case diagram	5
1.3.2	Use Case 1 - Udfør brystvolumenmåling	6
1.4	Ikke-funktionelle krav	7
1.4.1	Usability krav	7
1.4.2	Reliability krav	7
1.4.3	Performance krav	7
1.4.4	Supportability krav	8
1.4.5	Design krav	8
1.5	Projektafgrænsning	8
1.6	Samarbejdspartnere	10
Kapitel 2	Dokumentation af accepttest	11
2.1	Indledning	11
2.1.1	Formål	11
2.1.2	Læsevejledning	11
2.1.3	Versionshistorik	11
2.2	Accepttest-protokol	11
2.2.1	Formål	11
2.2.2	Referencer	11
2.2.3	Forkortelser	11

2.2.4	Ansvar	12
2.2.5	Udstyrsbeskrivelse	12
2.2.6	Acceptkriterier	12
2.2.7	Metode	13
2.2.8	Oversigt over testdokumenter	14
2.2.9	Forudsætning for udførelse af accepttest	14
2.3	Accepttest	14
2.3.1	Funktionelle krav	14
2.3.2	Ikke-funktionelle krav	17
Kapitel 3	Design	22
3.1	Indledning	22
3.1.1	Hardware	22
3.1.2	Software	22
Kapitel 4	Implementering	23
4.1	Indledning	23
4.1.1	Formål	23
4.1.2	Læsevejledning	23
4.1.3	Versionshistorik	23
4.2	Enhedstest	24
4.2.1	E01-H1	24
4.2.2	E02-M1	26
4.2.3	E03-H2	28
4.2.4	E04-M1	30
4.2.5	E05-M2	31
4.2.6	E06-M3	32
4.2.7	E07-M4	35
4.2.8	E08-M4	37
4.2.9	E09-M4	39
4.2.10	E10-H3	41
4.2.11	E11-VI02G	44
4.2.12	E12-VI01Q	46
4.2.13	E13-VI02Q	47
4.2.14	E14-VI04Q	49

4.2.15	E15-VI05 <u>Q</u>	51
4.2.16	E16-VIHRV <u>FQ</u>	52
4.2.17	E17-VI07 <u>Q</u>	54
4.3	Integrationstest	56
4.3.1	I01-H1/M1/VI02G/VI01 <u>Q</u>	56
4.3.2	I02-M1/VI01	59
4.3.3	I03-H1/M1/VI02G/VI02 <u>Q</u>	60
4.3.4	I04-H2/M1/VIO2G/VIO2 <u>Q</u>	63
4.3.5	I05-H2/M1/VI02G/VI02 <u>Q</u>	68
4.3.6	I06-H3/M4/VI05 <u>Q</u>	71
4.3.7	Bordtest nr. 6.1 - resonansfrekvens i tomt kammer	74
4.3.8	Bordtest 6.2 - test med tre balloner med forskellig volumen	78
Kapitel 5	Find en plads til det her	80
5.1	Bestemmelse af volumen af resonator	80
5.1.1	Bestemmelse af volumen af resonator ekskl. halsvolumen	80
5.2	Udregning af volumen	80
Litteratur		83
	Bilag A	84
	Bilag B	85

Kravspecifikation

1

1.1 Indledning

Dette kapitel indeholder kravspecifikationen for den akustiske brystvolumenmåler(BVM). Kravspecifikation er udarbejdet i samarbejde med projektets kunde, Pavia Lumholt, speciallæge i plastikkirurgi. Kravspecifikationen er opbygget om FURPS+-modellen, som er en helhedsbetragtende teknik til definering af krav. FURPS+ er inddelt i funktionelle og ikke-funktionelle krav. F(functionality) definerer de funktionelle krav, og URPS+ (usability, reliability, performance, supportability og +) definerer de ikke-funktionelle krav. I denne kravspecifikation definerer +, designbegrænsninger. Kravspecifikationen er udarbejdet ud fra den konceptuelle brystvolumenmåler. Grundet test og udviklingsmæssige udfordringer er denne model ikke blevet realiseret. Beskrivelse af den konceptuelle brystvolumen er beskrevet i afsnit 1.2.1 Brystvolumenmålerens opbygning

1.1.1 Formål

Kravspecifikation definerer de funktionelle og ikke-funktionelle krav, og fungerer som en bindende kontrakt mellem producent og kunde.

1.1.2 Læsevejledning

Dokumentet indeholder en systembeskrivelse for den akustiske brystvolumenmåler (omtales herefter BVM). Systembeskrivelsen er en kort beskrivelse af BVM samt en illustration af måleren. De definerede krav er opdelt i funktionelle og ikke-funktionelle krav, og er beskrevet i de navnebeslægtede afsnit. Dokumentet indeholder ydermere en projektafgrænsning i form af MoSCoW-modellen samt et afsnit omhandlende projektets samarbejdspartnere.

1.1.3 Versionshistorik

#	Dato	Initialer	Beskrivelse
0.1	03.10.16	JH & JR	Sendt til review

1.2 Systembeskrivelse

Systembeskrivelsen er opdelt i en konceptuelt og aktuel beskrivelse. Denne systembeskrivelse tager udgangspunkt i den konceptuelle BVM. Beskrivelse vil derfor være af en detaljegrad der afspejler det konceptuelle niveau.

1.2.1 Den konceptuelle brystvolumenmåler

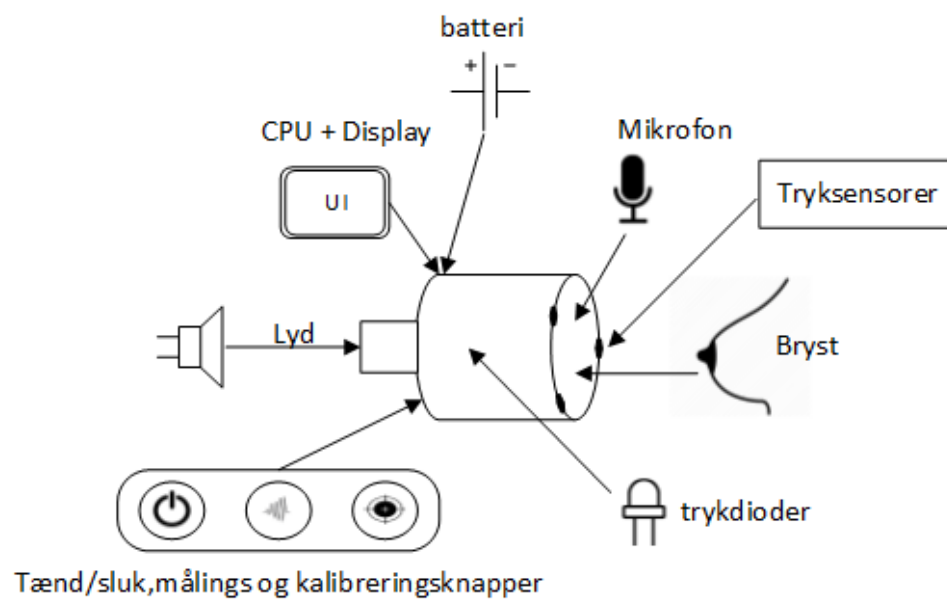
Den konceptuelle BVM er bygget op af en resonator med en størrelse hvorpå den kan omslutte en patients bryst. Resonatoren har påmonteret en højttaler som sender lyd ind i resonatorporten. Indeni resonatoren er monteret en mikrofon til at opsamle resonansfrekvensen. I resonatorkanten, som tilslutter til brystet, er der påsat tryksensorer til detektering af anlægstrykket. Resonatoren er yderligere monteret med en passende mængde dioder til angivelse af et korrekt anlægstryk. Dioderne er placeret så det er synlige for plastikkirurgen. Der er ydermere installeret en CPU til processering af data samt et display, med en størrelse, hvortil det er muligt at anvise progressbar for volumenmåling, det målte volumen samt relevante piktogrammer for procestilstanden. På resonatoren er der ligeledes påført tre knapper, en tænd-og sluk knap, målingsknap og en kalibreringsknap. Knappernes funktion er angivet med et piktogram til hver funktion. Et batteri er ligeledes tilkoblet så BVM bliver et trådløst device. Et overbliksbillede af de forskellige komponenter som ingår i den konceptuelle BVM findes i figur 1.1

1.2.2 Brystvolumenmåleren funktionalitet

Når en måling initialiseres med BVM'en afsendes en lyd fra højttalerne ind i resonatoren. Mikrofonen indeni resonatoren opsamler den opståede Helmholtzresonans. Igennem en A/D konvertering udregnes udregner en algoritme størrelsen på brystvolumen.

1.2.3 Aktørbeskrivelse

Systemets primære aktør er en plastikkirurg, som bruger BMV'en når han ønsker et objektivt mål på et bryst. Det er udelukkende plastikkirurgen, der betjener BMV'en



Figur 1.1: Diagrammet er en visuel beskrivelse af den konceptuelle brystvolumenmåler

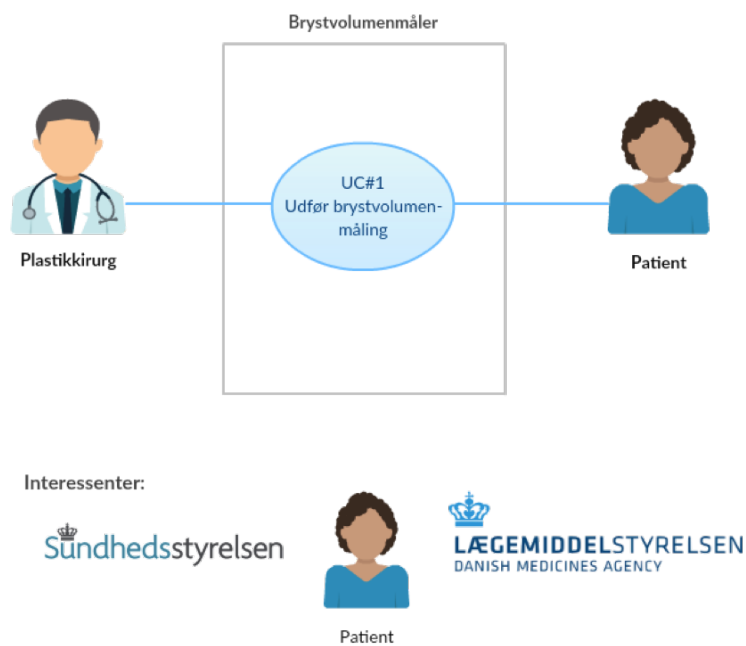
under en måling. Som sekundær aktør giver patient et input, sit bryst, til systemet.

1.3 Funktionelle krav

Dette afsnit beskriver de funktionelle krav, som er udarbejdet i samarbejde med Pavia Lumholt. Disse krav er præsenteret i et Use Case diagram samt i en Fully Dressed Use Case beskrivelse.

1.3.1 Use Case diagram

I Use Case diagrammet, figur 1.2, vises en Use Case for brugen af den akustiske brystvolumenmåler. På venstre side af Use Casen ses systemets primære aktør, og på højre side ses systemets sekundære aktør. Endvidere, vises systemets interessenter, nederst i diagrammet.



Figur 1.2: Use Case diagrammet viser et overblik over Use Cases samt involverede aktører.

1.3.2 Use Case 1 - Udfør brystvolumenmåling

Use Case 1: Udfør brystvolumenmåling	
Use Case ID	UC 1
Primær aktør	Plastikkirurg (PK)
Sekundær aktør	Patient
Interessenter 1. Patient: <i>ønsker et objektivt mål, som bevis på overensstemmelse med købsaftale</i> 2. Sundhedsstyrelsen: <i>ønsker et objektivt mål til vurdering af berettigelse til brystformindskende operation</i> 3. Lægemiddelstyrelsen: <i>ønsker, at BVM er i overensstemmelse med EU-lovgivning for medicinsk udstyr</i>	
Startbetingelse	Slutbetingelse
BVM skal være tændt	BVM skal vise et mål for brystvolumen
Normalforløb 1. PK kalibrerer BVM i den tilhørende dockingstation 2. PK placerer BVM på patients blottede bryst 3. PK kontrollerer, at patientens bryst er tætomsluttet af BVM 4. PK kontrollerer, at BVM er placeret med et ensartet tryk på patientens bryst 5. PK foretager en måling af brystvolumen ved at trykke på den dertilhørende knap 6. BVM præsenterer målingen på et display, som PK aflæser 7. BVM slukkes og rengøres	
Alternativt flow 1. Manglende kalibrering (a) PK anbringer BVM i dockingstation (b) PK starter kalibrering ved at trykke på den dertilhørende knap (c) BVM melder klar til brug	
Åbne problemstillinger <ul style="list-style-type: none"> Hvordan ved PK, at BVM mangler at blive kalibreret? Hvordan ved PK, at han påfører et ensartet tryk? Hvordan ved PK, at patientens bryst er tætomsluttet af BVM? Hvordan ved PK, at måling er foretaget? 	

Det alternative flow i UC1 er medtaget, som et eksempel på anvendelsen heraf. Det er ikke muligt at fremlægge et specificeret alternativ flow da kendskabet til den

endelige prototype ikke er indegående. Det alternative flow må derfor betragtes, som et eksempel på håndteringen af Use Case-beskrivelsen.

1.4 Ikke-funktionelle krav

1.4.1 Usability krav

Krav nr.	Krav	Kriterie	Baggrund for krav
UK1	Volumen angives i afrundet milliliter [ml]	ml anføres efter talværdi, <i>ex. 300 ml</i>	Standard inden for plastikkirurgi
UK2	Volumenangivelse skal kunne aflæses på en afstand af 50 cm.	Talværdi angives i digital talform med en højde på 1 cm.	Tænkt arbejdssituation
UK3	Der anvendes pikto-grammer til visualisering af processtatus	Der anvendes udelukkende visuelt symbolik	Ingen sprogbarriere

1.4.2 Reliability krav

Krav nr.	Krav	Kriterie	Baggrund for krav
RK1	Volumenangivelse skal have høj nøjagtighed	+/- 10 ml.	Kundekrav
RK2	Volumenangivelse skal have stor præcision	Afvigelse på 1% af f_b	Kundekrav
RK3	Volumenangivelse skal afrundes til nærmeste hele tal	Volumenangivelse findes ikke som decimaltal på UI	Kundekrav
RK4	Hyppighed af fejltilstand	Der må forekomme fejl ved hver 1000. måling	Tænkt arbejdssituation
RK5	Straksafhandling af fejltilstand	Varighed af fejlløsning må vare højst 2 minutter	Tænkt arbejdssituation

1.4.3 Performance krav

Krav nr.	Krav	Kriterie	Baggrund for krav
PK1	Måling skal foretages hurtigt	Målingen skal være foretaget inden for 10 sekunder	Kundekrav
PK2	Lydniveau må ikke være skadeligt for aktører	Lydniveau skal være mindre end 75 dB	Anbefaling fra Sundhedsstyrelsen

1.4.4 Supportability krav

Krav nr.	Krav	Kriterie	Baggrund for krav
SK1	Produktmateriale skal tåle rengøring	Skal tåle rengøring med sprit	Tænkt arbejdssituation
SK2	UI skal tåle rengøring	Skal tåle rengøring med sprit	Tænkt arbejdssituation

Ved en realisering af den konceptuelle BVM ville der endvidere i dette afsnit være listet krav til softwarearkitektur samt softlovgivning jvf. MDD/93/42/EEC.

1.4.5 Design krav

Krav nr.	Krav	Kriterie	Baggrund for krav
DK1	Skal være intuitiv at anvende	Funktioner skal være af standardiseret design	Organisatoriske og økonomiske overvejelser
DK2	Skal kunne anvendes på forskellige bryststørrelser og -former	Skal kunne anvendes på 90% af tilfældigt udvalgte kvinder	Tænkt arbejdssituation
DK3	Må ikke give gener under måling	Resonatoråbning må ikke forvolde skader på huden	Etiske overvejelser
DK4	Må ikke forårsage arbejdsskader	Skal være ergonomisk at anvende	Arbejdsmiljømæssige overvejelser
DK5	Design skal være trådløst	Ingen eksterne tilkoblinger med kabler	Kundekrav
DK6	Design skal overholde klassificering Im i hht. MDD 93/42/EEC	Dokumentation skal foreligge	Godkendelse af medicinsk udstyr

1.5 Projektafgrænsning

MoSCoW-modellen er en prioriteringsmetode, som anvendes til afgrænsning af projektet. Modellen beskriver, hvilke dele og krav i projektet, som skal opfyldes (**M**ust), bør opfyldes (**S**hould), kan opfyldes (**C**ould) og ikke vil opfyldes (**W**ould not have). Således gives en struktureret oversigt over, hvilke krav, der er vigtigst at få opfyldt inden for den givne tidsramme, og endvidere, hvilke krav, som efterfølgende med fordel kan implementeres, hvis tidsramme tillader det. Figur 1.3 viser, hvordan de enkelte dele og krav i projektet prioriteres i henhold til MoSCoW-metoden.

Must have

En prototype, som:

- genererer lyd og opfanger den reflekterede lyd i en resonator
- ved brug af resonansfrekvens, bestemmer volumen af et specificeret fantom
- præsenterer måling på et UI

Test af:

- nøjagtighed og præcision

Dokumentation for:

- søgning, analyse og vurdering af ny viden indenfor Helmholtz resonans teori og eksisterende løsninger
- databehandling og testresultater af nøjagtighed og præcision
- lovgivningsmæssige krav for medicinsk udstyr, gældende for prototypen
- risikovurdering af prototypen

Should have

En prototype, som:

- er håndholdt og trådløs
- har et integreret UI

Test af:

- brystfantomer i forskellige størrelser, former og materialer
- linearitet
- betydningen for temperatur- og luftfugtighedsforhold

Dokumentation for:

- databehandling og testresultater af linearitet ved forskellige brystfantomer
- databehandling og testresultater af betydningen for temperatur- og luftfugtighedsforhold mhp. nødvendighed for kalibrering
- analyse af anvendelsesmuligheder i forhold til ammemonitorering

Could have

En prototype, som:

- signalerer ved et ensartet anlægstryk

Test af:

- betydning for tætheden af resonatorens kantafrænsning
- betydningen for resonatorens udformning og størrelse

Dokumentation for:

- databehandling og testresultater af betydning for tætheden af resonatorens kantafrænsning
- databehandling og testresultater af betydning for resonatorens udformning og størrelse

Would not have

En prototype, som:

- ved brug af algoritme, selv afbryder ved stabil måling

1.6 Samarbejdspartnere

Kravspecifikationen er udarbejdet gennem et samarbejde med flere parter. Først og fremmest er projektets kravspecifikation til den endelige prototype specificeret i et samarbejde med projektets kunde, speciallæge i plastikkirurgi, Pavia Lumholt. Derudover er projektet tilknyttet en vejleder, lektor Samuel Alberg Thrysøe, med speciale i signalbehandling, som vejleder ved eventuelle problemstillinger. Endvidere indgår eksterne konsulenter, som reviewer's på indholdet af kravspecifikationen.

Dokumentation af

accepttest 2

2.1 Indledning

Dette kapitel indeholder dokumentation for udarbejdelsen af accepttesten, som er et værktøj til at validere de specificerede krav fra €.

2.1.1 Formål

2.1.2 Læsevejledning

2.1.3 Versionshistorik

2.2 Accepttest-protokol

Denne protokol beskriver alle de forhold og forudsætninger, som skal være opfyldt for at kunne udføre accepttest af den akustiske brystvolumenmåler.

2.2.1 Formål

Formålet med denne protokol er at specificere accepttest-aktiviteterne gældende for brystvolumenmåleren.

2.2.2 Referencer

€€ Eksempelvis UC#1

2.2.3 Forkortelser

€€

2.2.4 Ansvar

Ved underskrift på protokollen bekræfter:

Kunde - Projektansvarlig

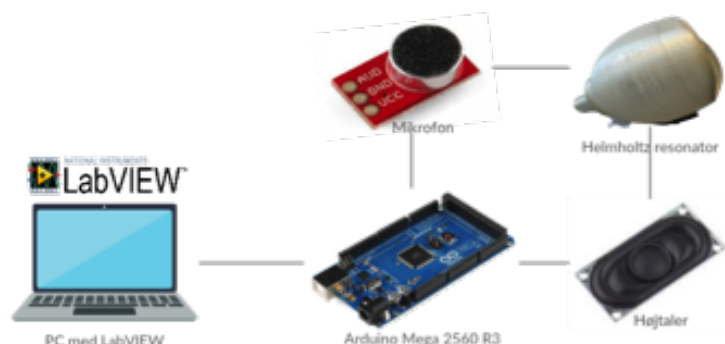
- *at indholdet er komplet og entydigt*
- *at det tekniske indhold og metoder er i orden og dækkende for de planlagte tests*
- *at den projektansvarlige er enig i omfang, metode og acceptkriterier*

Udviklere - Projektansvarlige

- *at det tekniske indhold og metoder er i orden og dækkende for de planlagte tests*

2.2.5 Udstyrsbeskrivelse

Den akustiske brystvolumenmåler består af en Helmholtz resonator, hvor der er påmonteret en højttaler og en mikrofon. Højttaleren og mikrofonen er koblet til en Arduino Mega 2560 R3. Arduino'en er koblet til en PC, hvor der skrives til Arduino i LabVIEW. Brystvolumenmåleren benyttes af en plastikkirurg, som bruger BMV'en når han ønsker et objektivt volumenmål på et bryst. Når en måling initialiseres med BVM'en afsendes en lyd i resonatoren via højttaleren. Mikrofonen på resonatoren opsamler den reflekterede lyd, og ud fra den reflekterede lyd, udregner en algoritme størrelsen på brystvolumen.



Figur 2.1: Beskrivelse af systemets komponenter €€€€

2.2.6 Acceptkriterier

Acceptkriterierne er afledt af de forhold, der er specificeret i Kravspecifikationen, kapitel 1. Acceptkriterierne er specificeret i de enkelte testskemaer.

2.2.7 Metode

Dette afsnit specificerer de retningslinjer, hvorefter accepttesten skal afvikles.

Dokumentsammenhæng

illustreres €€ Indsæt oversigt, med inspiration fra s. 204

Generelle krav

Afviklingen af accepttesten skal overholde følgende nøglekrav:

- *Protokollen skal være godkendt, før aktiviteter udføres*
- *Afvielser skal registreres og rettelser udføres*
- *Dataindsamling og registreringer skal udføres i overensstemmelse med »god testpraksis«*
- *Data skal granskes for rigtighed og fuldstændighed*
- *Accepttesten skal udarbejdes og godkendes, som bevis på den gennemførte accepttest*

Acceptkriterier

Dette afsnit beskriver, hvordan testskemaerne specifikt skal udfyldes.

- *Alle krav skal opfylde de specificerede acceptkriterier i hvert enkelte testskema.*
- *De aktuelle observationer skal svare til de forventede observationer*
- *I »Godkendt«-kolonnen skrives »Ja«, hvis acceptkriteriet er overholdt.*
- *I »Godkendt«-kolonnen skrives »Nej« samt afvigelsesnummer, hvis acceptkriteriet ikke er overholdt.*
- *Kolonnen »Init./Dato« skal udfyldes ved hver udførsel af test*

€€€€ Husk an skrive at da vi ikke kører accepttesten, vil der ikke være udarbejdede afvigelsesskemaer

Afvigelseshåndtering

Afvielser registreres under udførslen af accepttesten og dokumenteres ved udarbejdelse af afvigelsesbilag, hvor følgende punkter opfyldes:

- Afvigelse og årsag til afvigelsen beskrives*
- Aktion for opfyldelse af acceptkriterier angives*
- Resultat af gennemført aktion dokumenteres*

Afslutning af accepttest-aktiviteter

Ved afslutningen af accepttest-aktiviteterne, udarbejdes en accepttest-rapport. Denne rapport lukker accepttest-aktiviteterne, og fungerer som bevis for, at den gennemførte test af brystvolumenmåleren, er afsluttet med et tilfredsstillende resultat.

Accepttest-rapporten omhandler følgende punkter:

- *Konklusion på den gennemførte accepttest*
- *Kopi af godkendt protokol*
- *Afvigelsesblad med korrektive aktioner*
- *Udfyldte testskemaer*

2.2.8 Oversigt over testdokumenter

€€ Her angives de specifikke testdokumenter i en tabel. Obs, på eventuelle referencer til kravspec.

2.2.9 Forudsætning for udførelse af accepttest

€€ Hvad forudsætter afgørelsen for igangsættelse af accepttest / når det og det er opfyldt, startes accepttest

2.3 Accepttest

2.3.1 Funktionelle krav

Use Case 1

Test Case: normalforløb

Testforberedelse: BVM skal være tændt. BVM skal være tændt. Dockingstation til kalibrering skal være tilgængelig. Ved brug af dockingsstation kendes volumen af tom resonator.

Krav nr.	UC1.1
Acceptkriterie	BVM er kalibreret
Testmetode	Der trykkes på <i>Kalibrér</i> og UI viser <i>Kalibrering ok</i>
Observation	
Godkendt [Ja/Nej]	
Init./Dato	

Krav nr.	UC1.2-3
Acceptkriterie	Patientens bryst er omsluttet af BVM
Testmetode	Der observeres efter luftlommer mellem BVM og hud
Observation	
Godkendt [Ja/Nej]	
Init./Dato	

Krav nr.	UC1.4
Acceptkriterie	BVM er placeret med et ensartet anlægstryk
Testmetode	Der påføres en kontinuert tryk indtil alle trykdioder på BVM lyser grøn.
Observation	
Godkendt [Ja/Nej]	
Init./Dato	

Krav nr.	UC1.5-6
Acceptkriterie	Der er foretaget en måling
Testmetode	Der trykkes på <i>M</i> og en progressbar angiver målingsstatus. Volumen angives på UI når måling er foretaget.
Observation	
Godkendt [Ja/Nej]	
Init./Dato	

Krav nr.	UC1.7
Acceptkriterie	BVM slukkes
Testmetode	Der trykkes på <i>O/I</i>
Observation	
Godkendt [Ja/Nej]	
Init./Dato	

Test Case: alternativ flow

Testforberedelse: BVM skal være tændt. Dockingstation til kalibrering skal være tilgængelig. Ved brug af dockingsstation kendes volumen af tom resonator.

Krav nr.	UC1.A1
Scenarie	BVM melder fejl
Acceptkriterie	BVM melder klar til måling
Testmetode	Kalibrering af BVM
Observation	
Godkendt [Ja/Nej]	
Init./Dato	

2.3.2 Ikke-funktionelle krav

Test af usability krav

Krav nr.	UK1
Acceptkriterie	ml. anføres efter talværdi
Testmetode	UC1.5-6 følges. Det aflæses på UI om talværdi er angivet i ml.
Observation	
Godkendt [Ja/Nej]	
Init./Dato	

Krav nr.	UK2
Acceptkriterie	Talværdi angives i digital talform med en højde på 1 cm.
Testmetode	UC1.5-6 følges. Det observeres på UI om talværdi er angivet i digital form og skriftstørrelse måles
Observation	
Godkendt [Ja/Nej]	
Init./Dato	

Krav nr.	UK3
Acceptkriterie	Der anvendes piktogrammer til visualisering af processtatus på UI
Testmetode	Usabilitytest på min. 15 plastikkirurger med forskellig national baggrund
Observation	
Godkendt [Ja/Nej]	
Init./Dato	

Test af reliability krav

Krav nr.	RK1
Acceptkriterie	Nøjagtighed på +/- 10 ml.
Testmetode	En testserie på 1000 volumenmålinger genereres hvorpå nøjagtighed udregnes
Observation	
Godkendt [Ja/Nej]	
Init./Dato	

Krav nr.	RK2
Acceptkriterie	Afvigelse af præcision på højst 1% af f_b
Testmetode	En testserie på 1000 målinger af f_b genereres hvorpå præcision udregnes
Observation	
Godkendt [Ja/Nej]	
Init./Dato	

Krav nr.	RK3
Acceptkriterie	Volumenangivelse skal afrundes til nærmeste hele tal
Testmetode	UC1.5-6 følges og det kontrolleres at volumen ikke er angivet som decimaltal
Observation	
Godkendt [Ja/Nej]	
Init./Dato	

Krav nr.	RK4
Acceptkriterie	Der må forekomme fejl ved hver 1000. måling
Testmetode	En testserie på 1000 volumenmålinger generes hvorpå eventuelle fejl registreres
Observation	
Godkendt [Ja/Nej]	
Init./Dato	

Krav nr.	RK5
Acceptkriterie	Varighed af fejlløsning må være højst 2 minutter
Testmetode	UC1.A1 følges og varighed registreres
Observation	
Godkendt [Ja/Nej]	
Init./Dato	

Test af performance krav

Krav nr.	PK1
Acceptkriterie	Måling skal være foretaget inden for 10 sekunder
Testmetode	UC1 følges og varighed registreres
Observation	
Godkendt [Ja/Nej]	
Init./Dato	

Krav nr.	PK2
Acceptkriterie	Lydniveau ved måling skal være mindre end 75 dB målt med standiseret målemetode(kilde €€€€)
Testmetode	UC1 følges og lydniveau registreres med lydmåler
Observation	
Godkendt [Ja/Nej]	
Init./Dato	

Test af supportability krav

Krav nr.	SK1
Acceptkriterie	Produktmateriale skal tåle rengøring med sprit
Testmetode	Materiale rengøres med sprit 100 gange og kontrolleres for skader
Observation	
Godkendt [Ja/Nej]	
Init./Dato	

Krav nr.	SK2
Acceptkriterie	UI skal tåle rengøring med sprit
Testmetode	UI rengøres med sprit 100 gange og kontrolleres for skader
Observation	
Godkendt [Ja/Nej]	
Init./Dato	

Test af design krav

Krav nr.	DK1
Acceptkriterie	Skal kunne anvendes uden brugermanual
Testmetode	Minimum tyve plastikkirurger skal, uden kendskab til brugermanual, intuitivt anvende BVM
Observation	
Godkendt [Ja/Nej]	
Init./Dato	

DK1 kan også anses for at være et usabilitykrav og kan testes iht. ANSI/AAMI HE75:20097/(R)2013(ref€€€€)

Krav nr.	DK2
Acceptkriterie	Anvendes på 90% af tilfældigt udvalgte kvinder
Testmetode	Ud af en testpopulation på 100 kvinder, må der findes 10 kvinder som BVM ikke kan anvendes på
Observation	
Godkendt [Ja/Nej]	
Init./Dato	

Krav nr.	DK3
Acceptkriterie	Må ikke give gener under måling
Testmetode	Ergoterapeut godkender udformning
Observation	
Godkendt [Ja/Nej]	
Init./Dato	

Krav nr.	DK4
Acceptkriterie	Arbejdsstilling skal være ergonomisk korrekt
Testmetode	Ergoterapeut godkender arbejdsstilling
Observation	
Godkendt [Ja/Nej]	
Init./Dato	

Krav nr.	DK5
Acceptkriterie	Ingen eksterne tilkoblinger med kabler
Testmetode	Det kontrolleres, at der ikke er monteret kabler fra eksterne enheder
Observation	
Godkendt [Ja/Nej]	
Init./Dato	

Krav nr.	DK6
Acceptkriterie	Dokumentation for overensstemmelse med klassificering Im i hht. MDD 93/42/EEC
Testmetode	CE-certificering for de metrologiske aspekter er underskrevet af bemyndiget organ
Observation	
Godkendt [Ja/Nej]	
Init./Dato	

3.1 Indledning

Dette kapitel indeholder designdokumentation for den BVM.

3.1.1 Hardware

BDD

IBD

3.1.2 Software

Sekvensdiagram

Implementering 4

4.1 Indledning

Dette kapitel indeholder enhedstest, integrationstest samt €€€€€€€€€€accept-test. Alle udførte tests er reproducerbare, hvilket afspejles i den høje detaljegrad som testene er beskrevet i. For at kunne reproducere beskrevne tests, forventes et kendskab til Labview, herunder LINX [LabVIEW MakerHub].

4.1.1 Formål

4.1.2 Læsevejledning

€ Her indsættes beskrivelse samt oversigt at navngivning til tests (i en smuk tabel)

4.1.3 Versionshistorik

Tabel 4.1: Tabeloversigt over udførte enhedstests 2

Test-ID	Emne	ID: navn
E01-H1	Højtaler	H1: ABS-224-RC
E02-M1	Mikrofon	M1: Minijack PC Mikrofon
E03-H2	Højtaler	H2: Wide Band 2,5" SB65WBAC25-4
E04-M1	Mikrofon	M1: Minijack PC Mikrofon (udvidet test)
E05-M2	Mikrofon	M2: Logitech HD WEBCAM C270
E06-M3	Mikrofon	M3: Electret Microphone BOB12758
E07-M4	Mikrofon	M4: Electret Microphone Amplifier MAX4466 (2.5 V strømforsyning)
E08-M4	Mikrofon	M4: Electret Microphone Amplifier MAX4466 (5 V strømforsyning)
E09-M4	Mikrofon	M4: Electret Microphone Amplifier MAX4466 (frekvensbånd)
E10-H3	Højtaler	H3: Multimedia USB Speaker HP-1800
E11-VI02G	LabVIEW VI	VI02G: LabVIEW VI: genererfrekvenssignal01
E12-VI01Q	LabVIEW VI	VI01Q: optagefrekvenssignal01.vi
E13-VI02Q	LabVIEW VI	VI02Q: optagefrekvenssignal02.vi
E14-VI05Q	LabVIEW VI	VI05Q: optagefrekvenssignal05.vi
E15-VI06Q	LabVIEW VI	VI06Q: optagefrekvenssignal06.vi
E16-VI08Q	LabVIEW VI	VI08Q: optagefrekvenssignal08.vi

4.2 Enhedstest

Dette afsnit beskriver de indledende funktionstests, hvor hver enkelte selvstændige funktion i systemet afprøves.

Ved samtlige test med lydgenererende funktion er der anvendt maksimalt lydtryk på den lydgivende enhed.

4.2.1 E01-H1

Testhypotese

Der kan genereres en lyd gennem højtaleren ABS-224-RC ved brug af Arduino Mega 2560 R3 og NI LabVIEW 2014.

Produktspecifikationer

Hardware:

Højtaler: ABS-224-RC

Højtalerkabel: Rød/Sort

2 stk. Male Single Row Pin Header Strip 2.54 mm.

Arduino Mega 2560 R3

PC

USB kabel Hi-speed 2.0 shield 28AWG/2C+24AWG/2C Han USB A - Han USB B

Software:

NI LabVIEW 2014

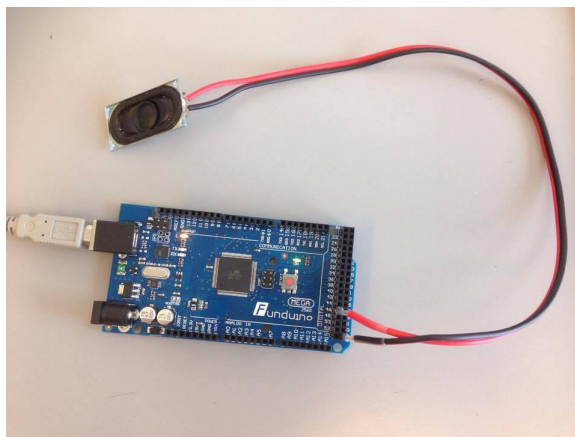
NI VISA 15.0.1

VI Package Manager

ARDUINO 1.6.12

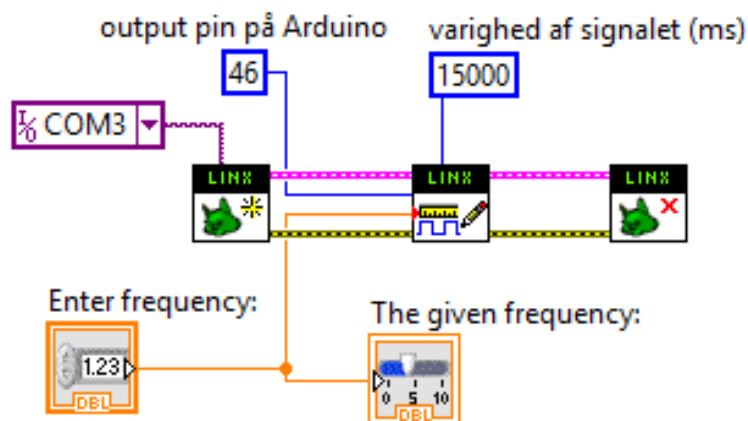
Opstilling og opsætning

Højtaleren er loddet til højtalerkablets ene ende, og pin headerne er loddet til kablets anden ende. Pin headerne er isat Arduino'en i pin 46 (PL3(OC5A)), som et er digitalt PWM output, og til ground (GND). Arduino'en er med et USB kabel koblet til PC'en. Delopstillingen er vist i figur 4.1.



Figur 4.1: Delopstilling af 4.2.1 E01-H1, hvor højttaler er tilkoblet Arduino.

På PC'en er *genererfrekvenssignal02.vi* åbnet i LabVIEW. *Serial port*, *Channel* og *Duration* er sat op, som givet i blokdiagrammet, vist i figur 4.2.



Figur 4.2: I blokdiagrammet `genererfrekvenssignal02.vi` er der anvendt følgende LINX-VI'er; Initialize, Digital Write Square Wave samt Close.

Udførsel

1. I *Enter Frequency* på frontpanelet i `genererfrekvenssignal02.vi`, indtastes 500.
2. Der trykkes på *Run*.
3. Der lyttes efter lydsignal fra højttaleren.

Resultater

Der høres en lyd fra højttaleren.

Diskussion

-

Konklusion

Hypotesen er accepteret idet der kan genereres en lyd gennem højttaleren ved brug af Arduino Mega 2560 R3 og NI LabVIEW 2014.

Aktion

-

4.2.2 E02-M1

Testhypotese

Der kan gennem Minijack PC Mikrofonopfanges en lyd.

Produktspecifikationer

Hardware:

Minijack PC Mikrofon

PC

Software:

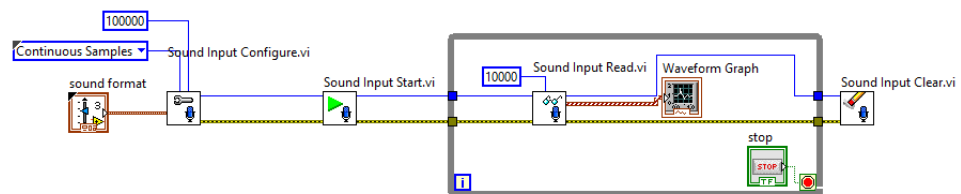
NI LabVIEW 2014

www.onlinetonegenerator.com

Opstilling og opsætning

Mikrofonen er sat i PC'ens minijack-stik.

På PC'en er `optagefrekvenssignal01.vi` åbnet i LabVIEW. VI'et er opbygget af *Graphics and sound* komponenter. Komponenterne, forbindelserne og de angivende værdier er vist i blokdiagrammet, i figur 4.3.



Figur 4.3: I blokdiagrammet `optagefrekvenssignal01.vi` opsamles lydsignalet, som vises i en graf på frontpanelet.

`www.onlinetonegenerator.com` er åbnet i en browser på PC'en.

Udførsel

1. I VI'et `optagefrekvenssignal01.vi`, trykkes på *Run*.
 - a) Der genereres en hørbar lyd til mikrofonen fra `onlinetonegenerator.com`.
 - b) På frontpanelet i VI'et observeres om mikrofonen opfanger en lyd, ved at grafen viser amplitudeudsving.
2. I VI'et `optagefrekvenssignal01.vi`, trykkes på *Run*.
 - a) Mikrofonden dækkes nu med en hånd mhp. at mikrofonen ikke opfanger en lyd.

- b) Der generes en hørbar lyd til mikrofonen fra onlinetonegenerator.com.
- c) På frontpanelet i VI'et observeres om mikrofonen opfanger en lyd, ved at grafen viser amplitudeudsving.

Resultater

Ad1. Der er observeret et amplitudeudsving på grafen. Mikronen har opfanget en lyd.

Ad2. Der er ikke observeret et amplitudeudsving på grafen. Mikrofonen har ikke opfanget en lyd.

Diskussion

-

Konklusion

Idet der ikke opfanges en hørbar lyd i Ad2., konkluderes det, at den hørbare lyd, opfanges gennem Ad1. Hypotesen accepteres idet mikrofonen opfanger en lyd.

Aktion

-

4.2.3 E03-H2

Testhypotese

Der kan genereres en lyd gennem højttaleren ved brug af Arduino Mega 2560 R3 og NI LabVIEW 2014.

Produktspecifikationer

Hardware:

Højttaler: Wide Band 2.5" SB65WBAC25-4

Højttalerkabel: Rød/Sort

Kabelsko: Rød fladstik hun, str. 0.25-1.65 mm², 6.6 mm bred fladstik

2 stk. Male Single Row Pin Header Strip 2.54 mm.

Arduino Mega 2560 R3

PC

USB kabel Hi-speed 2.0 shield 28AWG/2C+24AWG/2C Han USB A - Han USB B

Software:

NI LabVIEW 2014

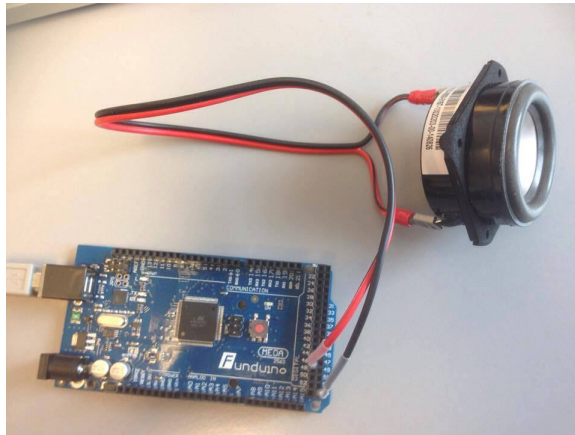
NI VISA 15.0.1

VI Package Manager

ARDUINO 1.6.12

Opstilling og opsætning

Højtalerkablets ene ende er påsat kabelsko, som er påsat højttaleren. Til kablets anden ende er pin headerne loddet fast. Pin headerne er isat Arduino'en i pin 46 (PL3(OC5A)), som et er digitalt PWM output, og til ground (GND). Arduino'en er med et USB kabel koblet til PC'en. Delopstillingen er vist i figur 4.4.



Figur 4.4: Delopstilling af 4.2.3 E03-H2, hvor højttaler er tilkoblet Arduino.

På PC'en er **genererfrekvenssignal02.vi** åbnet i LabVIEW. *Serial port*, *Channel* og *Duration* er sat op, som givet i blokdiagrammet, vist i figur 4.2.

Udførsel

1. I *Enter Frequency* på frontpanelet i **genererfrekvenssignal02.vi**, indtastes 500.
2. Der trykkes på *Run*.
3. Der lyttes efter lydsignal fra højttaleren.

Resultater

Der høres en lyd fra højttaleren.

Diskussion

-

Konklusion

Hypotesen er accepteret idet der kan genereres en lyd gennem højttaleren ved brug af Arduino Mega 2560 R3 og NI LabVIEW 2014.

Aktion

-

4.2.4 E04-M1**Testhypotese**

Der kan gennem Minijack PC Mikrofon opfanges en lyd.

Produktspecifikationer*Hardware:*

Minijack PC Mikrofon (med 2 meter ledning)

PC

Smartphone

Software:

NI LabVIEW 2014

www.onlinetonegenerator.com

Opstilling og opsætning

Mikrofonen er med en ledning tilsluttet PC'ens minijack-stik. PC'en er placeret i et rum, og mikrofonen med ledningen gennem den lukkede dør, er placeret i et andet rum. I en browser på smartphonen åbnes onlinetonegenerator.com. Smartphonen placeres ca. 2 cm fra mikrofonen.

På PC'en er `optagefrekvenssignal01.vi` åbnet i LabVIEW. VI'et er opbygget af *Graphics and sound* komponenter. Komponenterne, forbindelserne og de angivende værdier er vist i blokdiagrammet, i figur 4.3.

Udførsel

1. I VI'et `optagefrekvenssignal01.vi`, trykkes på *Run*.
2. Der generes en lyd i `onlinetonegenerator.com` til mikrofonen.
3. På frontpanelet i VI'et observeres amplitudeudsving på grafen.

Resultater

Der blev ikke observeret et amplitudeudsving på grafen.

Diskussion

-

Konklusion

Mikrofonen har ikke opfanget en lyd, og hypotesen forkastes.

Aktion

Det undersøges, hvilke årsager der er skyld i, at mikrofonen ikke opfanger et frekvenssignal.

4.2.5 E05-M2**Testhypotese**

Der kan gennem Logitech HD WEBCAM C270 opfanges en lyd.

Produktspecifikationer*Hardware:*

Logitech HD WEBCAM C270 (med 1,5 meter ledning)

PC

Smartphone

Software:

NI LabVIEW 2014

`www.onlinetonegenerator.com`

Opstilling og opsætning

Webkameraet er tilsluttet PC'ens USB-port. PC'en er placeret i et rum, og webkameraet med ledningen gennem den lukkede dør, er placeret i et andet rum. I en browser på smartphonen åbnes onlinetonegenerator.com. Smartphonen placeres ca. 2 cm fra mikrofonen.

På PC'en er `optagefrekvenssignal01.vi` åbnet i LabVIEW. VI'et er opbygget af *Graphics and sound* komponenter. Komponenterne, forbindelserne og de angivende værdier er vist i blokdiagrammet, i figur 4.3.

Udførsel

1. I VI'et `optagefrekvenssignal01.vi`, trykkes på *Run*.
2. Der generes en lyd i onlinetonegenerator.com til mikrofonen.
3. På frontpanelet i VI'et observeres amplitudeudsving på grafen.

Resultater

Der blev observeret et amplitudeudsving på grafen.

Diskussion

-

Konklusion

Mikrofonen har opfanget en lyd, og hypotesen accepteres.

Aktion

Denne mikrofon er ikke hensigtsmæssig til brug i den videre test, da den er for stor til at kunne påsættes resonatoren. Næste skridt er at finde en mindre mikrofon med USB-stik.

4.2.6 E06-M3

Testhypotese

Der kan gennem Electret Microphone Breakout BOB 12758 opfanges lydsignaler i frekvensbåndet i intervallet 20 Hz - 10 kHz.

Produktspecifikationer

Hardware:

Electret Microphone Breakout BOB 12758

3 stk. Male Single Row Pin Header Strip 2.54 mm.

Mikrofonkabler: Rød/Sort/Blå

Krympeflex 2:1

Multifunction Data Acquisition (DAQ) USB-6009

USB kabel: National Instruments USB A/B 2.0 Cable (1 Meter)

PC

Software:

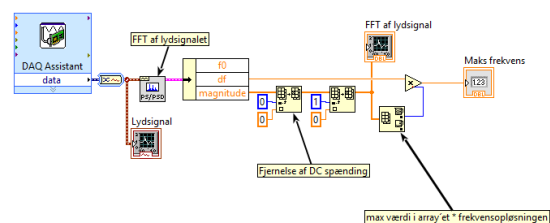
NI LabVIEW 2014

LabVIEW2014-NI-DAQmx-14

www.onlinetonegenerator.com

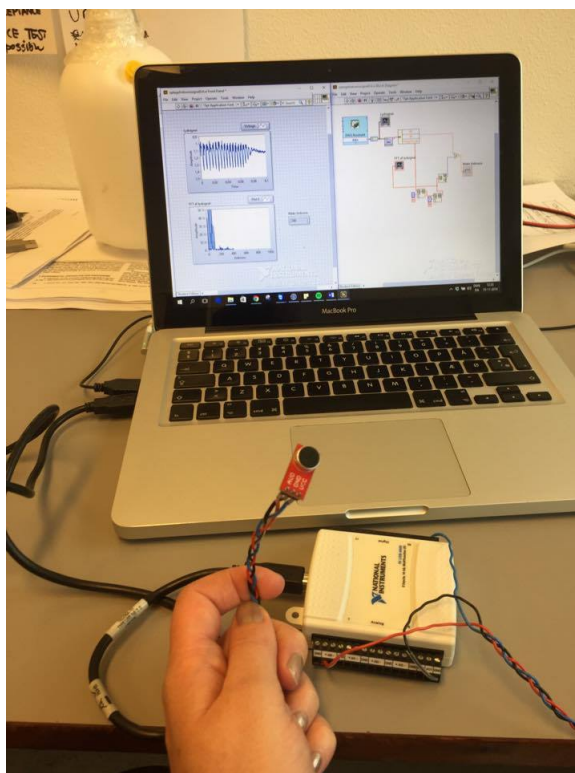
Opstilling og opsætning

På kablerne er pins fastloddet, som igen er loddet fast til mikrofonprintet. Det røde kabel forbinder mikrofonprintets "AUD" til "+AI0"-indgangen på DAQ'en. Det sorte kabel forbinder mikrofonprintets "GND" til "GND"-indgangen på DAQ'en. Det blå kabel forbinder mikrofonprintets "VCC" til "+5V" på DAQ'en. DAQ'en er med USB-kablet tilkoblet PC'en, hvorpå `optagefrekvenssignal04.vi` er åbnet i LabVIEW. Blokdiagrammet for VI'et er vist i figur 4.5. I en browser på PC'en er onlinetonegenerator.com åbnet.



Figur 4.5: Blokdiagram for VI'et `optagefrekvenssignal04.vi`.

Testopstillingen er vist i figur 4.6.



Figur 4.6: Testopstilling for 4.2.6 E06-M3

Udførsel

1. I VI'et optagefrekvenssignal04.vi, trykkes på *Run*.
2. Der genereres et signal med følgende frekvens: 100 Hz, 500 Hz, 1 kHz , 5 kHz og 10 KHz fra onlinetonegenerator.com
3. På frontpanelet i VI'et observeres amplitudeudsving på grafen.
4. Resultatet aflæses i *Maks. frekvens* på VI'ets frontpanel.

Testen foretages to gange for hver frekvens.

Resultater

Resultaterne vises i tabel 4.2

Diskussion

Skyldes de unøjagtige resultater ved 100 Hz, 500 Hz og 10000 Hz, at PC højtalers frekvensbånd ikke er bredt nok til at udsende disse signaler?

Tabel 4.2: Tabel over resultater af 4.2.6 E06-M3.

Udsendt frekvens [Hz]	1. resultat	2. resultat
100	20	40
500	500	500
1000	1000	1000
5000	3000	3000
10000	20	50

Konklusion

Ved et signal med en frekvens på hhv. 100 Hz, 5 kHz og 10 kHz er resultaterne ikke tilnærmelsesvis de udsendte frekvenser. Det kan ikke konkluderes, hvorvidt det skyldes mikrofonen eller PC'ens højtalere. Hypotesen må derfor forkastes.

Aktion

Det undersøges, hvilke årsager der er skyld i, at der opnås unøjagtige resultater.

4.2.7 E07-M4

Testhypotese

Der kan gennem Electret Microphone Amplifier - MAX4466 opfanges lydsignaler i frekvensbåndet i intervallet 20 Hz - 10 kHz med 2.5 V strømforsyning.

Produktspecifikationer

Hardware:

Electret Microphone Amplifier - MAX4466

3 stk. Male Single Row Pin Header Strip 2.54 mm.

Mikrofonkabler: Rød/Sort/Blå

Krympeflex 2:1

Multifunction Data Acquisition (DAQ) USB-6009

USB kabel: National Instruments USB A/B 2.0 Cable (1 Meter)

PC

Software:

NI LabVIEW 2014

LabVIEW2014-NI-DAQmx-14

www.onlinetonegenerator.com

Opstilling og opsætning

På kablerne er pins fastloddet, som igen er loddet fast til mikrofonprintet. Det røde kabel forbinder mikrofonprintets "AUD" til "+AI0"-indgangen på DAQ'en. Det sorte kabel forbinder mikrofonprintets "GND" til "GND"-indgangen på DAQ'en. Det blå kabel forbinder mikrofonprintets "VCC" til "+2.5V" på DAQ'en. DAQ'en er med USB-kablet tilkoblet PC'en, hvorpå `optagefrekvenssignal04.vi` er åbnet i LabVIEW. Blockdiagrammet for VI'et er vist i figur 4.5. I en browser på PC'en er onlinetonegenerator.com åbnet.

Udførsel

1. I VI'et `optagefrekvenssignal04.vi`, trykkes på *Run*.
2. Der generes et signal med følgende frekvens: 20 Hz, 50 Hz, 100 Hz, 1 kHz og 10 KHz fra onlinetonegenerator.com.
3. På frontpanelet i VI'et observeres efter amplitudeudsving på grafen.
4. Resultatet aflæses i *Maks. frekvens* på VI'ets frontpanel.

Testen foretages to gange for hver frekvens.

Resultater

Resultaterne vises i tabel 4.3.

Tabel 4.3: Tabel over resultater af 4.2.7 E07-M4.

Udsendt frekvens [Hz]	1. resultat	2. resultat
20	96	96
50	22	15
100	95	95
1000	1000	1000
10000	4	15

Diskussion

I beskrivelsen af mikrofonens specifikationer anbefales det at bruge 2.5 V, som er den mest støjsvage forsyning.☹☹☹ <https://www.adafruit.com/products/1063> Skyldes de afvigende resultater, at der kun bruges 2.5 V strømforsyning til at opsamle lyden?

Konklusion

Ved et signal med en frekvens på hhv. 20 Hz, 50 Hz, 100 Hz, og 10 kHz er resultaterne ikke tilnærmelsesvis de udsendte frekvenser. Det kan ikke konkluderes, hvorvidt det skyldes mikrofonen, et begrænset frekvensbånd på PC'ens højttaler eller en for lav strømforsyning til mikrofonen. Hypotesen må derfor forkastes.

Aktion

Der foretages en ny enhedstest af Electret Microphone Amplifier - MAX4466 med en strømforsyning på 5 V.

4.2.8 E08-M4

Testhypotese

Der kan gennem Electret Microphone Amplifier - MAX4466 opfanges lydsignaler i frekvensbåndet i intervallet 20 Hz - 10 kHz med 5 V strømforsyning.

Produktspecifikationer

Hardware:

Electret Microphone Amplifier - MAX4466

3 stk. Male Single Row Pin Header Strip 2.54 mm.

Mikrofonkabler: Rød/Sort/Blå

Krympeflex 2:1

Multifunction Data Acquisition (DAQ) USB-6009

USB kabel: National Instruments USB A/B 2.0 Cable (1 Meter)

PC

Software:

NI LabVIEW 2014

LabVIEW2014-NI-DAQmx-14

www.onlinetonegenerator.com

Opstilling og opsætning

På kablerne er pins fastloddet, som igen er loddet fast til mikrofonprintet. Det røde kabel forbinder mikrofonprintets "AUD" til "+AI0"-indgangen på DAQ'en. Det sorte kabel forbinder mikrofonprintets "GND" til "GND"-indgangen på DAQ'en. Det blå kabel forbinder mikrofonprintets "VCC" til "5V" på DAQ'en. DAQ'en er med USB-kablet tilkoblet PC'en, hvorpå `optagefrekvenssignal04.vi` er åbnet i LabVIEW. Blockdiagrammet for VI'et er vist i figur 4.5. I en browser på PC'en er onlinetonegenerator.com åbnet.

Udførsel

1. I VI'et `optagefrekvenssignal04.vi`, trykkes på *Run*.
2. Der generes et signal med følgende frekvens: 20 Hz, 50 Hz, 100 Hz, 1 kHz og 10 KHz fra onlinetonegenerator.com.
3. På frontpanelet i VI'et observeres efter amplitudeudsving på grafen.
4. Resultatet aflæses i *Maks. frekvens* på VI'ets frontpanel.

Testen foretages to gange for hver frekvens.

Resultater

Resultaterne vises i tabel 4.4.

Tabel 4.4: Tabel over resultater af 4.2.8 E08-M4.

Udsendt frekvens [Hz]	1. resultat	2. resultat
20	20	40
50	80	100
100	20	700
1000	1000	1000
10000	40	20

Diskussion

Strømforsyningen på 5 V gjorde ikke afvigelserne i resultaterne mindre. Kan det være frekvensbåndet i PC'ens højttalere som ikke er bredt nok til at afspille det ønskede frekvensbånd?

Konklusion

Ved et signal med en frekvens på hhv. 20 Hz, 50 Hz, 100 Hz, og 10 kHz er resultaterne ikke tilnærmelsesvis de udsendte frekvenser. Det kan ikke konkluderes, hvorvidt det skyldes mikrofonen eller et begrænset frekvensbånd på PC'ens højttaler. Hypotesen må derfor forkastes.

Aktion

Frekvensbåndet mellem 100 - 1000 Hz ønskes testet, da det muligvis kan være tilstrækkeligt til det videre testforløb.

4.2.9 E09-M4**Testhypotese**

Der kan gennem Electret Microphone Amplifier - MAX4466 opfanges lydssignaler i frekvensbåndet i intervallet 100 Hz - 1 kHz med 5 V strømforsyning.

Produktspecifikationer*Hardware:*

Electret Microphone Amplifier - MAX4466

3 stk. Male Single Row Pin Header Strip 2.54 mm.

Mikrofonkabler: Rød/Sort/Blå

Krympeflex 2:1

Multifunction Data Acquisition (DAQ) USB-6009

USB kabel: National Instruments USB A/B 2.0 Cable (1 Meter)

PC

Software:

NI LabVIEW 2014

LabVIEW2014-NI-DAQmx-14

www.onlinetonegenerator.com

Opstilling og opsætning

På kablerne er pins fastloddet, som igen er loddet fast til mikrofonprintet. Det røde kabel forbinder mikrofonprintets "AUD" til "+AI0"-indgangen på DAQ'en. Det sorte kabel forbinder mikrofonprintets "GND" til "GND"-indgangen på DAQ'en. Det blå kabel forbinder mikrofonprintets "VCC" til "5V" på DAQ'en. DAQ'en er med USB-kablet tilkoblet PC'en, hvorpå `optagefrekvenssignal04.vi` er åbnet i LabVIEW. Blockdiagrammet for VI'et er vist i figur 4.5. I en browser på PC'en er onlinetonegenerator.com åbnet.

Udførsel

1. I VI'et `optagefrekvenssignal04.vi`, trykkes på *Run*.
2. Der generes et signal med følgende frekvens: 100 Hz, 150 Hz, 200 Hz, 300, 400 Hz, 500 Hz, 600 Hz, 700 Hz, 800 Hz, 900 Hz og 1 kHz fra onlinetonegenerator.com.
3. På frontpanelet i VI'et observeres efter amplitudeudsving på grafen.
4. Resultatet aflæses i *Maks. frekvens* på VI'ets frontpanel.

Testen foretages to gange for hver frekvens.

Resultater

Resultaterne vises i tabel 4.5.

Diskussion

Resultaterne af det udsendte frekvenssignal på 100 Hz er afvigende. Det kan muligvis skyldes et begrænset frekvensbånd i PC-højttaleren.

Konklusion

Mikrofonen kan ikke opfange et frekvenssignal på 100 Hz. Hypotesen må derfor forkastes.

Tabel 4.5: Tabel over resultater af 4.2.9 E09-M4.

Udsendt frekvens [Hz]	1. resultat	2. resultat
100	20	80
150	150	150
200	200	200
300	300	300
400	400	400
500	500	500
600	600	600
700	700	700
800	800	800
900	900	900
1000	1000	1000

Aktion

Da mikrofonen kan opfange et frekvensbånd fra 150 Hz - 1 kHz med en nøjagtighed på 100 pct., besluttes det at anvende mikrofonen i det videre testforløb.

4.2.10 E10-H3**Testhypotese**

Højttaleren Multimedia USB Speaker HP-1800 kan generere signaler med frekvenser i intervallet 20 Hz - 1500 Hz.

Produktspecifikationer*Hardware:*

Electret Microphone Amplifier - MAX4466

3 stk. Male Single Row Pin Header Strip 2.54 mm.

Mikrofonkabler: Rød/Sort/Blå

Krympeflex 2:1

Multifunction Data Acquisition (DAQ) USB-6009

USB kabel: National Instruments USB A/B 2.0 Cable (1 Meter)

Multimedia USB Speaker HP-1800

PC

Software:

NI LabVIEW 2014

LabVIEW2014-NI-DAQmx-14

www.onlinetonegenerator.com

Opstilling og opsætning

Opstilling og opsætning

På kablerne er pins fastloddet, som igen er loddet fast til mikrofonprintet. Det røde kabel forbinder mikrofonprintets "AUD" til "+AI0"-indgangen på DAQ'en. Det sorte kabel forbinder mikrofonprintets "GND" til "GND"-indgangen på DAQ'en. Det blå kabel forbinder mikrofonprintets "VCC" til "5V" på DAQ'en. DAQ'en er med USB-kablet tilkoblet PC'en, hvorpå `optagefrekvenssignal04.vi` er åbnet i LabVIEW. Blockdiagrammet for VI'et er vist i figur 4.5. Højtaleren er tilsluttet PC'ens USB-port og minijack-stik, og er placeret ca. 2 cm. fra mikrofonen. I en browser på PC'en er onlinetonegenerator.com åbnet.

Udførsel

1. Der generes et signal med henholdsvis følgende frekvens: 20 Hz, 75 Hz, 80 Hz, 90 Hz, 100 Hz, 150 Hz, 200 Hz, 300, 400 Hz, 500 Hz, 600 Hz, 700 Hz, 800 Hz, 900 Hz, 1000 Hz, 1100 Hz, 1200 Hz, 1300 Hz, 1400 Hz og 1500 Hz fra onlinetonegenerator.com.
2. I VI'et `optagefrekvenssignal04.vi`, trykkes på *Run* efter hvert genereret frekvens.
3. På frontpanelet i VI'et aflæses frekvensen i *Maks. frekvens* for hvert genereret frekvens.

Testen foretages to gange for hver frekvens.

Resultater

Resultaterne vises i tabel 4.6.

Tabel 4.6: Tabel over resultater af 4.2.10 E10-H3.

Udsendt frekvens [Hz]	1. resultat	2. resultat
20	20	50
75	70	80
80	90	80
90	90	90
100	100	100
150	150	150
200	200	200
300	300	300
400	400	400
500	500	500
600	600	600
700	700	700
800	800	800
900	900	900
1000	1000	1000
1100	1100	1100
1200	1200	1200
1300	1200	1200
1400	1100	1100
1500	1000	1000

Diskussion

Frekvenser op til 90 Hz og frekvenser fra 1300 Hz til 1500 Hz afviger fra de udsendte frekvenser. Kan det muligvis skyldes mikrofonen ikke kan optage disse signaler, eller skyldes det højtaleren ikke kan generere frekvenserne?

Konklusion

Hypotesen forkastes da højtaleren Multimedia USB Speaker HP-1800 ikke kan generere signaler med frekvenser i intervallet 20 Hz - 1500 Hz.

Aktion

Da højttaleren kan levere frekvenser fra 90 - 1200 Hz, besluttes det at anvende denne højttaler til det videre testforløb, hvor resonansfrekvens i et tomt kammer måles.

4.2.11 E11-VI02G**Testhypotese**

Der kan igennem LINX LabVIEW Makerhub oprettes en forbindelse til Arduino Mega 2560 r3.

Produktspecifikationer*Hardware:*

Højttaler: ABS-224-RC

Højttalerkabel: Rød/Sort

2 stk. Male Single Row Pin Header Strip 2.54 mm.

Arduino Mega 2560 R3

PC

USB kabel Hi-speed 2.0 shield 28AWG/2C+24AWG/2C Han USB A - Han USB B

Software:

NI LabVIEW 2014

NI VISA 15.0.1

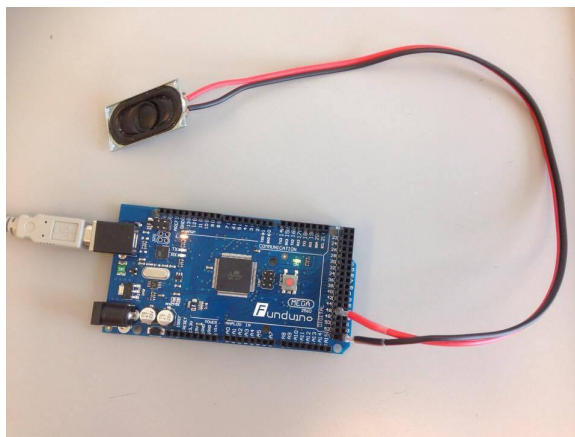
VI Package Manager

ARDUINO 1.6.12

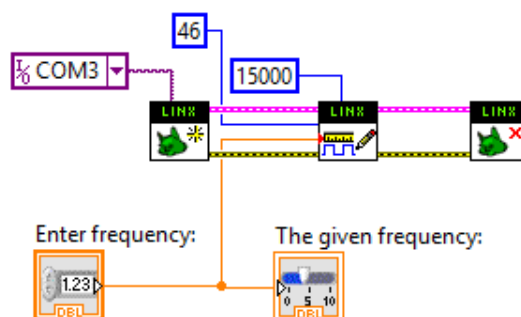
Opstilling og opsætning

Højttaleren er loddet til højttalerkablets ene ende, og pin headerne er loddet til kablets anden ende. Pin headerne er isat Arduino'en i pin 46 (PL3(OC5A)), som et er digitalt PWM output, og til ground (GND). Arduino'en er med et USB kabel koblet til PC'en. Testopstillingen er vist i figur 4.7.

I LabVIEW er det opbygget et VI *genererfrekvenssignal.VI* af LINX MakerHub komponenterne *Initialize.VI*, *Write square signal.VI* og *Close.VI*. I blokdiagrammet angives *serial port*, *Channel* og *Duration*. Blokdiagrammet ses i figur 4.8



Figur 4.7: Arduino med tilkoblet højttaler

Figur 4.8: Blokdiagram for *genererfrekvnessignal02.VI*

Udførsel

1. I *Enter Frequency* på frontpanelet i *genererfrekvnessignal02.vi*, indtastes en selvvalgt frekvens.
2. Der trykkes på *Run*.
3. Der lyttes efter lydsignal fra højttaleren.

Resultat

Der observeres en lyd ud fra højttaleren

Diskusion

-

Konklusion

Det konkluderes at det har været muligt at skabe en forbindelse igennem LINX LabVIEW Makerhub til Arduino Mega 2560 r3.

Aktion

-

4.2.12 E12-VI01O**Testhypotese**

Det er muligt at opfange en lyd ved brug af LabVIEWs *Graphics and sound* VI'er.

Produktspecifikationer

Hardware:

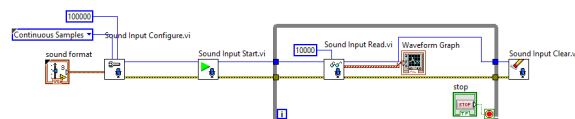
PC

Software:

NI LabVIEW 2014

Opstilling og opsætning

I LabVIEW er det opbygget et VI *optagefrekvenssignal01.VI* af *Graphics and sound* komponenter. Komponenterne, forbindelserne og de angivende værdier er vist i figur 4.9



Figur 4.9: Blokdiagram for *optagefrekvenssignal01.VI*

Udførsel

1. Der trykkes på *Run*.
2. Det snakkes ind i PC mikrofonen.
3. Der observeres efter udsving af amplituden i grafen på frontpanelet.

Resultat

I grafen på frontpanelet ses der udsving på amplituden når der snakkes til PC mikrofonen.

Diskusion

-

Konklusion

Hypotesen accepteres. Det har været muligt at opfange en lyd ved brug af LabVIEWs *Graphics and sound* VI'er.

Aktion

-

4.2.13 E13-VI02O**Testhypotese**

Det er muligt at lave en FFT på et lydsignal og detektere maks. frekvensen.

Produktspecifikationer

Hardware:

PC

Software:

NI LabVIEW 2014

www.onlinetonegenerator.com

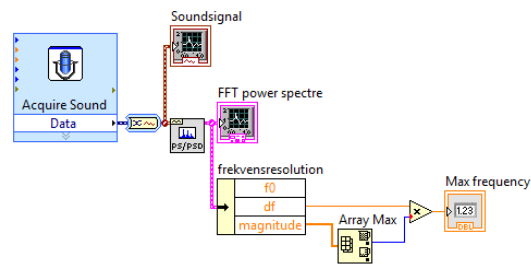
Opstilling og opsætning

I LabVIEW er det opbygget et VI *optagefrekvenssignal02.VI* af *Graphics and sound* og *Textit Waveforms Measurements*-komponenter. Komponenterne, forbindelserne og de angivende værdier er vist i figur 4.10

I onlinetonegeneratoren åbnes DMTF generatoren som er vist i figur 4.13

Udførsel

1. En DTMF tone 1 vælges i tonegeneratoren. Den højste frekvens i DTMF tonen noteres.

Figur 4.10: Blokdiagram for *optagefrekvenssignal02.VI*

2. Tonen afspilles og der trykkes på run i VI'et som nu optager tonen.
3. Maksfrekvensen aflæses på frontpanlet i *Maks frekvens* og sammenholdes med den tidligere noteret maksfrekvens. Disse skulle gerne stemme overens.

Denne udførsel gentages med tone 5, 9 samt D fra DTMF generatoren.

Resultat

Tabel 4.7: Tabel over resultater

DTMF tone	Højeste frekvens	Resultat
1	1209	1209
5	1336	1336
9	1477	1477
D	1633	1633

Diskusion

-

Konklusion

Resultaterne er lig med de afsendte frekvenser. Testhypotesen er godkendt.

Aktion

-

4.2.14 E14-VI04O

Testhypotese

Det er muligt at lave en FFT på et lydsignal og detektere maks. frekvensen med lydsignal fra DAQ.

Produktspecifikationer

Hardware:

PC

Multifunction Data Acquisition (DAQ) USB-6009

Software:

NI LabVIEW 2014

NI VISA 15.0.1

VI Package Manager

LabVIEW2014-NI-DAQmx-14

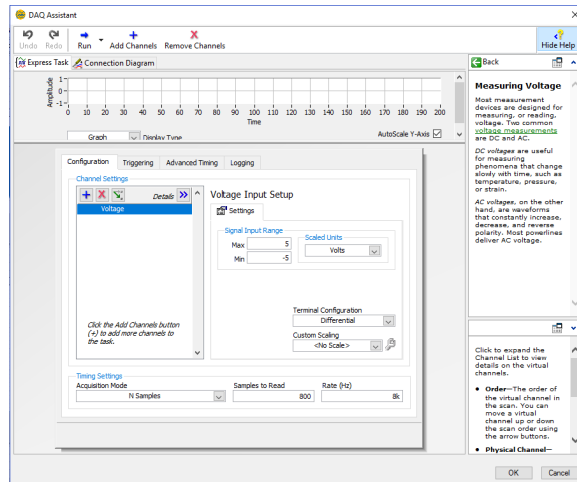
Opstilling og opsætning

optagefrekvenssignal0.4.vi er åbnet og onlinetonegeneratoren er åbnet i browseren på PC'en. Blokdiagrammet er vist i figur 4.17. I blokdiagrammet i *optagefrekvenssignal0.4.vi* åbnes DAQ assistant modulet og i *Samples to read* indtastes 800 og i *Rate(Hz)* indtastes 8000. Dette vises i figur 4.11. I onlinetonegeneratoren åbnes DMTF generatoren som er vist i figur 4.13

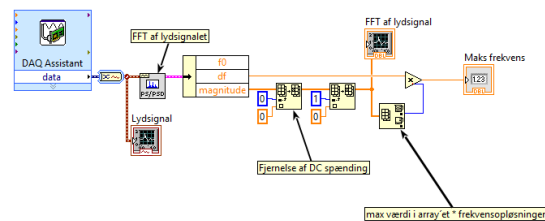
Udførsel

1. En DTMF tone 1 vælges i tonegeneratoren. Den højste frekvens i DTMF tonen noteres.
2. Tonen afspilles og der trykkes på run i VI'et som nu optager tonen.
3. Maksfrekvensen aflæses på frontpanlet i *Maks frekvens* og sammenholdes med den tidligere noteret maksfrekvens. Disse skulle gerne stemme overens.

Denne udførsel gentages med tone 5, 9 samt D fra DTMF generatoren.



Figur 4.11: DAQ assistant modulet med korrekt indtastet værdier



Figur 4.12: Blokdiagram for VI'et optagefrekvenssignal0.4.vi.

Online Tone Generator

DTMF Dial Tones

The Online Tone Generator can be used to create Dual Tone Multi Frequency (DTMF) signals commonly heard on telephone dial pads. Each tone is simply the sum of two sine waves. Click and hold the dial pad buttons to hear each tone.



Figur 4.13: DTMF generatoren

Resultater

Diskussion

-

Konklusion

Resultaterne af testen ligger acceptabelt tæt på de afsendte frekvenser. Hypotesen er godkendt.

Tabel 4.8: Tabel over resultater

DTMF tone	Højeste frekvens	Resultat
1	1209	1209,6
5	1336	1332,16
9	1477	1475,84
D	1633	1633,4

Aktion

Det besluttes at koden bruges i det videre udviklingsforløb.

4.2.15 E15-VI05Q**Testhypotese**

Det er muligt at foretager n antal målinger i samme runtime og gemme disse i en .CSV fil hvor signalet er opsamlet med DAQ'en.

Produktspecifikationer*Hardware:*

PC

Multifunction Data Acquisition (DAQ) USB-6009

Software:

NI LabVIEW 2014

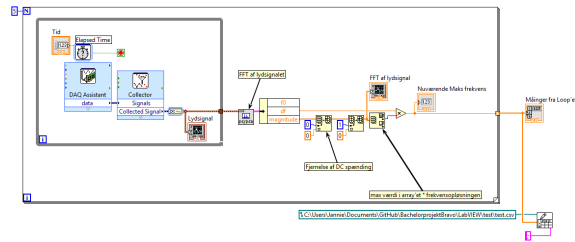
NI VISA 15.0.1

VI Package Manager

LabVIEW2014-NI-DAQmx-14

Opstilling og opsætning

optagefrekvenssignal0.5.vi er åbnet. Blokdiagrammet er vist i figur 4.17. I blokdiagrammet i *optagefrekvenssignal0.5.vi* åbnes DAQ assistant modulet og i *Samples to read* indtastes 800 og i *Rate(Hz)* indtastes 8000. Dette vises i figur 4.11.



Figur 4.14: Blokdigram for VI'et optagefrekvenssignal0.5.vi.

Udførsel

1. I blokdigrammet indtastes 5 i *Loop Count* og den ønskede sti til den gemte .CSV fil angiver i *file path* i *Write To Spreadsheet File*. VI'et
2. På frontpanelet indtastes 4 sekunder i *Tid*
3. Der trykkes på run i VI'et som nu optager lyd igennem DAQ'en.
4. VI'et optager omkringværende lyd
5. På frontpanelet aflæses om der ligger 5 målinger i array'et
6. I den førangivet sti kontrolleres om der er dannet en .CSV fil med de 5 målinger

Resultat

På frontpanelet i VI'et ser der 5 målinger og der er ligger i array'et. I den valgt sti ligger der ligeledes en .CSV fil med de 5 målinger.

Diskusion

-

Konklusion

Da resultatet er fuldt tilfredsstillende, godkendes testhypotesen.

Aktion

-

4.2.16 E16-VIHRVFO

Testhypotese

Helmholtzresonansformel i LabVIEW udregner korrekt volumen ud fra kendte givet værdier.

Produktspecifikationer

Hardware:

PC

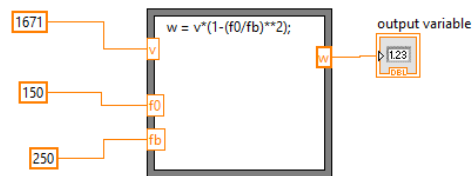
Texas Instruments TI-89

Software:

NI LabVIEW 2014

Opstilling og opsætning

HRVF.vi er åbnet. Blokdiagrammet for VI'et ses i figur 4.15



Figur 4.15: Blokdiagram for VI'et HRVF.

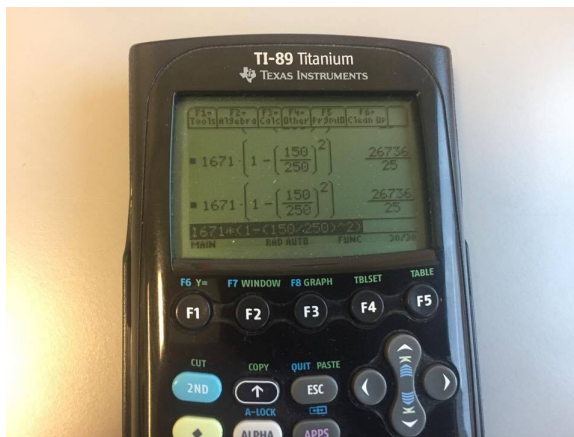
På TI-89'eren indtastes formelen for udregningen af volumen ud fra helmholtzresonansen. Formel defineres således

$$W = V \left(1 - \left(\frac{f_0}{f_b} \right)^2 \right) \quad (4.1)$$

Indtastningen op TI-89'eren ses på figur 4.16, hvor værdierne er angivet således at $v = 1671$, $f_0 = 150$ og $f_b = 250$. Resultatet af indtastning giver volumet $W = 1069.44$

Udførsel

1. De overnævnte værdier indtastes i blokdiagrammet på de korrekte pladser.
2. Der trykkes på *Run*
3. Resultat af udregningen aflæses på frontpanelet i feltet *Resultat*.
4. Resultatet fra TI-89 og VI'et sammenlignes.



Figur 4.16: Indtastning af formel på TI-89

Resultat

Volumet, regnet på TI-89'erne, angav at $W = 1069.44$. Volumet, regnet i VI'et, angav at $W = 1069.44$.

Diskussion

-

Konklusion

Da resultatet af udregningen er ens for begge metoder, godkendes testenhypotesen.

Aktion

Det besluttes at den kodede formel fra VI'et kan bruges i det videre udviklingsforløb i LabVIEW.

4.2.17 E17-VI07O

Testhypotest

Det er muligt at foretager n antal målinger i samme runtime og gemme disse i en .CSV fil hvor signalet er opsamlet med DAQ'en.

Produktspecifikationer

Hardware:

PC

Multifunction Data Acquisition (DAQ) USB-6009

Software:

NI LabVIEW 2014

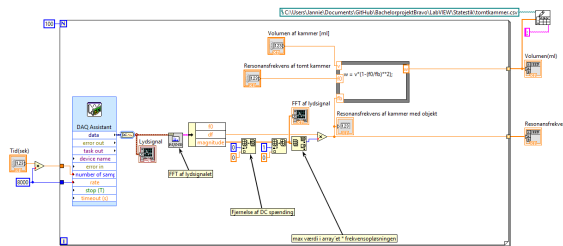
NI VISA 15.0.1

VI Package Manager

LabVIEW2014-NI-DAQmx-14

Opstilling og opsætning

optagefrekvenssignal0.7.vi er åbnet. Blokdiagrammet er vist i figur 4.17. I blokdiagrammet i *optagefrekvenssignal0.7.vi* åbnes DAQ assistant modulet og i *Samples to read* indtastes 800 og i *Rate(Hz)* indtastes 8000. Dette vises i figur 4.17.



Figur 4.17: Blokdiagram for VI'et *optagefrekvenssignal0.7.vi*.

Udførsel

1. I blokdiagrammet indtastes 5 i *Loop Count* og den ønskede sti til den gemte .CSV fil angives i *file path* i *Write To Spreadsheet File.VI*'et
2. På frontpanelet indtastes 4 sekunder i *Tid*
3. Der trykkes på run i VI'et som nu optager lyd igennem DAQ'en.
4. VI'et optager omkringværende lyd
5. På frontpanelet aflæses om der ligger 5 målinger i array'et
6. I den førangivet sti kontrolleres om der er dannet en .CSV fil med de 5 målinger

Resultat

På frontpanelet i VI'et ser der 5 målinger og der er ligger i array'et. I den valgt sti ligger der ligeledes en .CSV fil med de 5 målinger.

Diskusion

-

Konklusion

Da resultatet er fuldt tilfredsstillende, godkendes testhypotesen.

Aktion

Det besluttet at dette *optagefrekvenssignal0.7.vi* bruges i det videre udviklingsforløb

4.3 Integrationstest

Dette afsnit.. Ved samtlige test med lydgenererende funktion er der anvendt maksimalt lydtryk på den lydgivende enhed.

Tabel 4.9: Tabeloversigt over udførte integrationstests

Test-ID	Indgående enheder	Testformål
I01	H1/M1/VI02G/VI01 <u>Q</u>	Generere og opfange lydsignal
I02	M1/VI02G	Optage lydsignal gennem M1
I03	H1/M1/VI02G/VI02 <u>Q</u>	Sammenligning af frekvenssignaler
I04	H2/M1/VI02G/VI02 <u>Q</u>	Dæmpning af overtoner
I05	H2/M1/VI02G/VI02 <u>Q</u>	Test af resonansfrekvens ved højfrekvenser
I06	H3/M4/VI05 <u>Q</u>	Resonansfrekvens i tom resonator
I07	H3/M4/VI05 <u>Q</u>	Resonansfrekvens i tom resonator med højttalerholder
I08	H3/M4/VI06 <u>Q</u>	Volumenmåling af ballon
I09	H3/M4/VI08 <u>Q</u>	Volumenmåling med højttalerholder af balloner
I10	H3/M4/VI08 <u>Q</u>	Volumenmåling uden højttalerholder af balloner

4.3.1 I01-H1/M1/VI02G/VI01Q**Testhypotese**

Kan der genereres et kendt frekvenssignal som udsendes gennem højttaleren via arduino'en, og derefter opfanges af PC mikrofonen og hvor (maks) frekvensen angives i LabVIEW.

Produktspecifikationer

Hardware:

Højtaler: ABS-224-RC

Højtalerkabel: Rød/Sort

2 stk. Male Single Row Pin Header Strip 2.54 mm.

Arduino Mega 2560 R3

PC

USB kabel Hi-speed 2.0 shield 28AWG/2C+24AWG/2C Han USB A - Han USB B

Software:

NI LabVIEW 2014

NI VISA 15.0.1

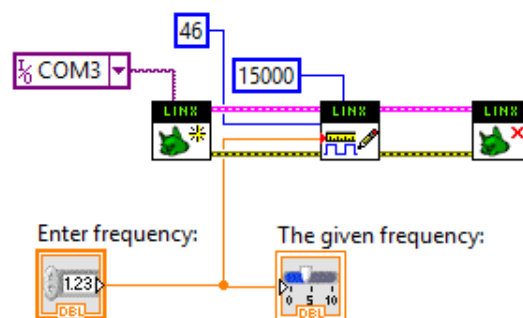
VI Package Manager

ARDUINO 1.6.12

Opstilling og opsætning

1. delopstilling:

Højtaleren er loddet til højtalerkablets ene ende, og pin headerne er loddet til kablets anden ende. Pin headerne er isat Arduino'en i pin 46 (PL3(OC5A)), som et er digitalt PWM output, og til ground (GND). Arduino'en er med et USB kabel koblet til PC'en. På PC'en er VI'et `genererfrekvenssignal02.vi` åbnet i LabVIEW. Blokdiagrammet er vist i figur 4.18.

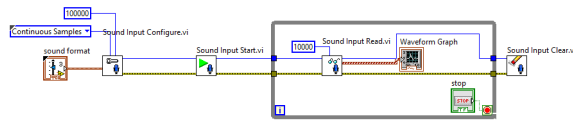


Figur 4.18: Blokdiagrammet for `genererfrekvenssignal02.vi`

2. delopstilling:

Mikrofonen er sat i PC'ens minijack-stik. På PC'en er VI'et `optagefrekvenssignal0.1.vi`

åbnet i LabVIEW. Blokdiagrammet er vist i figur 4.19.



Figur 4.19: Blokdiagram for *optagefrekvenssignal01.VI*

Udførsel

1. Højtaleren holdes manuelt således membranen står i lodret position.
2. Mikrofonen holdes manuelt, vendt mod højtaleren, i en afstand på 5 cm.
3. I VI'et *genererfrekvenssignal02.vi* indtastes den ønskede frekvens i den numeriske kontrol *Enter Frequency*.
4. Koden eksekveres ved at trykke på *Run*.
5. I VI'et *optagefrekvenssignal0.1.vi* trykkes på *Run*.
6. Den maksimale optagede frekvens aflæses i *Max Frequency*.

Punkt 1-4 gentages med frekvenser på: 100 Hz, 150 Hz, 200 Hz, 400 Hz, 500 Hz, 600 Hz og 700 Hz.

Resultater

Den maksimale optagede frekvens var ikke tilnærmelsesvis frekvensen på den udsendte tone ved alle afprøvede frekvenser.

Diskussion

Det ønskede resultat er frekvensen på den udsendte tone, hvilket ikke var tilfældet i denne test. Hvor er fejlen opstået; er der fejl i LabVIEW-kode eller hardware?

Konklusion

Da resultatet ikke er tilfredsstillende forkastes hypotesen.

Aktion

Det er nødvendigt at undersøge om fejlen opstår i vores hardware eller software. Onlinetonegenerator anvendes til at undersøge dette.

4.3.2 I02-M1/VI01

Testhypotese

Kan der genereres et frekvenssignal fra en online tonegenerator, som udsendes gennem PC'ens højttaler, og derefter opfanges af mikrofonen, hvor den højst målte frekvens til sidst angives i LabVIEW.

Produktspecifikationer

Hardware:

Minijack PC Mikrofon

PC

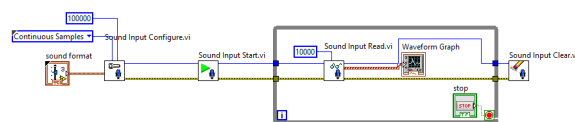
Software:

NI LabVIEW 2014

onlinetonegenerator.com

Opstilling og opsætning

Mikrofonen er sat i PC'ens minijack-stik. På PC'en er VI'et optagefrekvenssignal0.1.vi åbnet i LabVIEW. Blokdiagrammet er vist i figur 4.20.



Figur 4.20: Blokdiagram for *optagefrekvenssignal01.VI*

I en internetbrowser er hjemmesiden www.onlinetonegenerator.com åbnet, og PC'ens højttalere er slået til og volumen er sat til maksimum.

Udførsel

1. Mikrofonen holdes manuelt, vendt mod PC'ens højttaler, i en afstand på 5 cm.
2. I onlinetonegenerator.com genereres et signal med den ønskede frekvens.
3. I VI'et optagefrekvenssignal0.1.vi trykkes på *Run*.
4. Den maksimale optagede frekvens aflæses i *Max Frequency*.

Punkt 1-4 gentages med frekvenser på: 100 Hz, 150 Hz, 200 Hz, 400 Hz, 500 Hz, 600 Hz og 700 Hz.

Resultater

Den optagede frekvens var den generede udsendte frekvens (± 0.5 Hz).

Diskussion

Der opnås nu pæne resultater, og der reflekteres over om resultaterne i 4.3.1 skyldes fejl i højttaler eller fejl i VI'et `genererfrekvenssignal02.vi`.

Konklusion

Testresultaterne er tilfredsstillende og testhypotesen accepteres. Det konkluderes, at der ikke er fejl i VI'et `optagefrekvenssignal0.1.vi`.

Aktion

Det skal undersøges, hvilken forskel der er på frekvenssignalet fra `onlinetonegenerator.com` og det generede frekvenssignal udsendt fra højttaleren ABS-224-RC.

4.3.3 I03-H1/M1/VI02G/VI02O

Testhypotese

Frekvenssignalet fra `onlinegenerator.com` og det genererede frekvenssignal udsendt fra højttaleren ABS-224-RC er forskellige ved analyse i LabVIEW.

Produktspecifikationer

Hardware:

Højttaler: ABS-224-RC

Højttalerkabel: Rød/Sort

2 stk. Male Single Row Pin Header Strip 2.54 mm.

Krympeflex 2:1 Arduino Mega 2560 R3

USB kabel Hi-speed 2.0 shield 28AWG/2C+24AWG/2C Han USB A - Han USB B
PC

Minijack PC Mikrofon

Software:

NI LabVIEW 2014

NI VISA 15.0.1

VI Package Manager

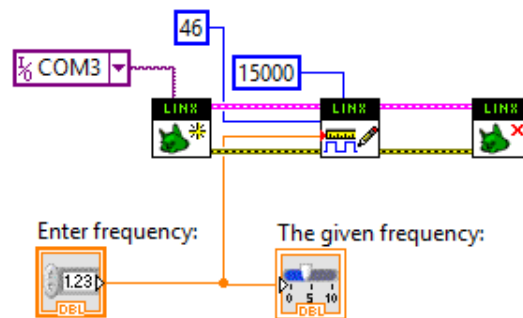
ARDUINO 1.6.12

www.onlinetonegenerator.com

Opstilling og opsætning

1. delopstilling:

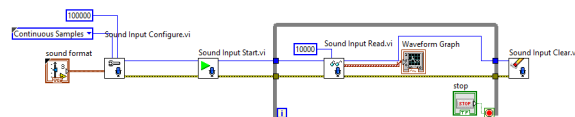
Højttaleren er loddet til højtalerkablets ene ende, og pin headerne er loddet til kablets anden ende. Pin headerne er isat Arduino'en i pin 46 (PL3(OC5A)), som et er digitalt PWM output, og til ground (GND). Arduino'en er med et USB kabel koblet til PC'en. På PC'en er VI'et `genererfrekvenssignal02.vi` åbnet i LabVIEW. Blokdiagrammet er vist i figur 4.21.



Figur 4.21: Blokdiagrammet for `genererfrekvenssignal02.vi`

2. delopstilling:

Mikrofonen er sat i PC'ens minijack-stik. På PC'en er VI'et `optagefrekvenssignal01.vi` åbnet i LabVIEW. Testopstillingen for denne del er vist i figur ??, og blokdiagrammet er vist i figur 4.22.



Figur 4.22: Blokdiagram for `optagefrekvenssignal01.VI`

3. delopstilling:

I en internetbrowser er hjemmesiden www.onlinetonegenerator.com åbnet, og PC'ens højtalere er slået til og volumen er sat til maksimum.

Udførsel

1. deltest

1. Højtaleren holdes manuelt således membranen står i lodret position.
2. Mikrofonen holdes manuelt, vendt mod højtaleren, i en afstand på 5 cm.
3. I VI'et `genererfrekvenssignal02.vi` indtastes den ønskede frekvens i den numeriske kontrol *Enter Frequency*.
4. Koden eksekveres ved at trykke på *Run*.
5. I VI'et `optagefrekvenssignal0.1.vi` trykkes på *Run*.
6. Den maksimale optagede frekvens aflæses i *Max Frequency*.

2. deltest

1. Mikrofonen holdes manuelt, vendt mod PC'ens højtaler, i en afstand på 5 cm.
2. I `onlinetonegenerator.com` genereres et signal med den ønskede frekvens.
3. I VI'et `optagefrekvenssignal0.1.vi` trykkes på *Run*.
4. Den maksimale optagede frekvens aflæses i *Max Frequency*.

Deltestene gentages med frekvenser på: 100 Hz, 150 Hz, 200 Hz, 400 Hz, 500 Hz, 600 Hz, 700, 1000 og 1200 Hz, og resultaterne sammenholdes.

Resultater

Det blev observeret, at de afsendte frekvenser fra det generede frekvenssignal i VI'et `genererfrekvenssignal02.vi` ikke stemte overens med de aflæste i maks frekvens-feltet. Det erfarede at det var grundtonens harmoniske overtoner, idet frekvensen udsendes som et firkantsignal. Kun ved højfrekvente signaler (<1 kHz), blev grundtonen opfanget. Ved at benytte `onlinetonegenerator.com`, kunne der udsendes et sinussignal med en given frekvens, som blev korrekt opfanget (± 0.5 Hz) i maks frekvens-feltet.

Diskussion

Der opnås pæne resultater ved at bruge et sinussignal. Det overvejes om det er muligt at generer sinussignaler til en Arduino men der er desværre meget kompliceret at generere sinussignaler til en Arduino.

Konklusion

Testhypotesen accepteres. Det konkluderes, at der ikke er fejl i software og hardware, og de unøjagtige resultater skyldes firkantssignalets harmoniske overtoner.

Aktion

Det skal undersøges, om det er muligt at filtrere firkantssignalets harmoniske overtoner fra vha. en resonator, således firkantssignalet kan benyttes.

4.3.4 I04-H2/M1/VIO2G/VIO2O**Testhypotese**

Kan en resonatorlignende beholder dæmpe de harmoniske overtoner fra firkantsignalet.

Produktspecifikationer*Hardware:*

Højttaler: Wide Band 2.5" SB65WBAC25-4

Højttalerkabel: Rød/Sort

Kabelsko: Rød fladstik hun, str. 0.25-1.65 mm², 6.6 mm bred fladstik

2 stk. Male Single Row Pin Header Strip 2.54 mm.

Krympeflex 2:1

Arduino Mega 2560 R3

Minijack PC Mikrofon

PC

USB kabel Hi-speed 2.0 shield 28AWG/2C+24AWG/2C Han USB A - Han USB B

Tryksprøjte NSG 150 - Neptun (resonator)

Lineal

Software:

NI LabVIEW 2014

NI VISA 15.0.1

VI Package Manager

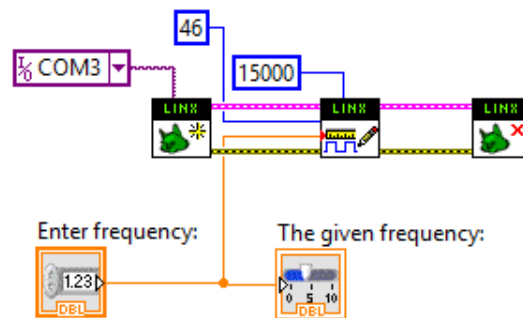
ARDUINO 1.6.12

Opstilling og opsætning

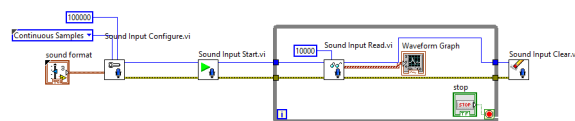
Højtalerkablets ene ende er påsat kabelsko, som er påsat højttaleren. Til kablets anden ende er pin header loddet fast og forsejlet med krympeflex. Pin headerne er isat Arduino'en i pin 46 (PL3(OC5A)), som et er digitalt PWM output, og til ground (GND). Arduino'en er med et USB kabel koblet til PC'en. Mikrofonen er sat i PC'ens minijack-stik og er ført ned i resonatoren hvor den ligger i bunden. Højttaleren placeres i en afstand på en halv diameter af højttalerens membran, ovenfor resonatorens hals.

På PC'en er VI'erne *genererfrekvenssignal02.vi* og *optagefrekvenssignal02.vi* åbnet i LabVIEW og blokdiagrammerne er vist i figur 4.23 og 4.24

Testopstillingen kan ses på figur 4.25.



Figur 4.23: Blokdiagrammet for *genererfrekvenssignal02.vi*



Figur 4.24: Blokdiagram for *optagefrekvenssignal01.VI*

Udførsel

1. Tryksprøjtetdelen afmonteres beholderen og fungerer nu som resonator. Resonatoren stilles på et bord med halsen pegende opad.
2. Mikrofonen føres ned i resonatoren og ligger i resonatorens bund.
3. Linealen påsættes resonatorens hals så den fungerer som afstandsmåler fra halsåbningen.



Figur 4.25: Testopstilling for test *I04-H2/M1/VI02G/VI02O*

4. Højtaleren holdes manuelt over resonatorhalsen i en afstand på en halv diameter af højtalermembranen. Ved anvendelse af den specificerede højtaler er afstanden to centimeter.
5. I VI'et *genererfrekvenssignal02.vi* indtastes den ønskede frekvens i den numeriske kontrol *Enter Frequency*.
6. Koden eksekveres ved at trykke på *Run*.
7. I VI'et *optagefrekvenssignal02.vi* trykkes på *Run*.
8. Den maksimale optagede frekvens aflæses i *Max Frequency*.

Testen udføres med en frekvens på 200 Hz, 500 Hz, 1000 Hz og 1200 Hz. Der afprøves to gange med hvert frekvens

Resultater

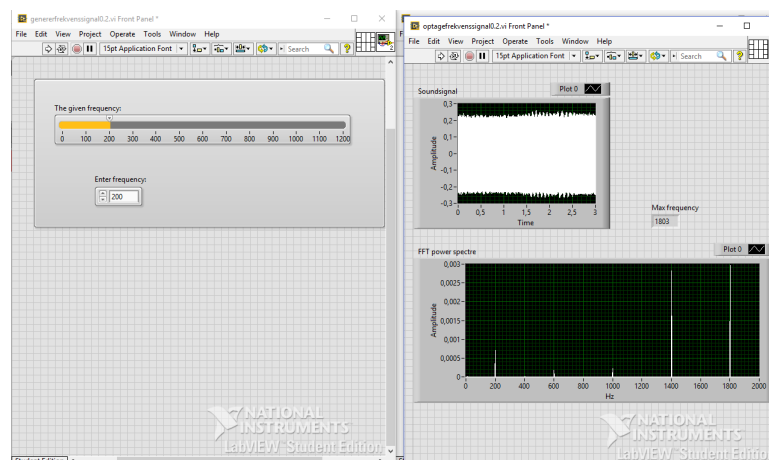
Det blev observeret i første forsøg, at resultatet fra det generede frekvenssignal i VI'et *genererfrekvenssignal02.vi* på 200 Hz var en af grundtonens harmoniske overtone på 1803 Hz og i andet forsøg observeres en harmonisk overtone 1402,33 Hz. Resultatet fra første forsøg vises i figur 4.26.

Det blev observeret ved begge forsøg, at resultatet fra det generede frekvenssignal i

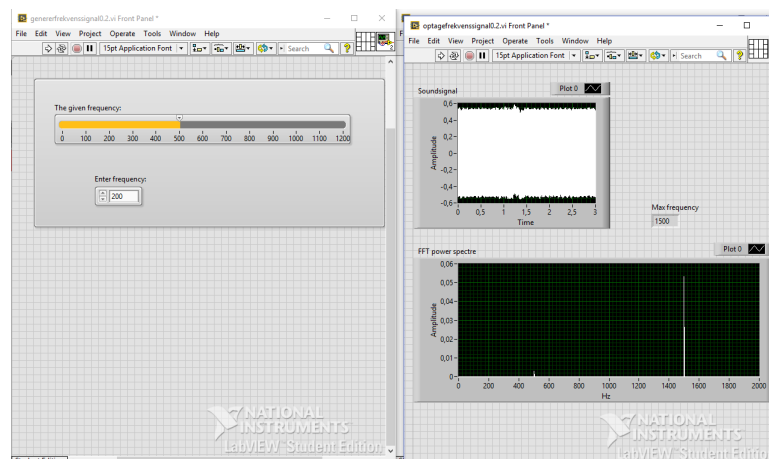
VI'et **genererfrekvenssignal02.vi** på 500 Hz var en af grundtonens harmoniske overtoner på 1500 Hz. Dette ses i figur 4.27.

Det blev observeret i første forsøg, at resultatet fra det generede frekvenssignal i VI'et **genererfrekvenssignal02.vi** på 1000 Hz var en af grundtonens harmoniske overtoner på 3000,33 Hz i. Dette ses i figur 4.28. I det andet forsøg observeres det at resultatet stemmer overens med den afspillede grundtone. Dette ses på figur 4.29.

Det blev observeret, at resultatet fra den generede frekvenssignal i VI'et **genererfrekvenssignal02.vi** på 1200 Hz stemmer overens med den afspillede grundtone. Dette ses på figur 4.30.



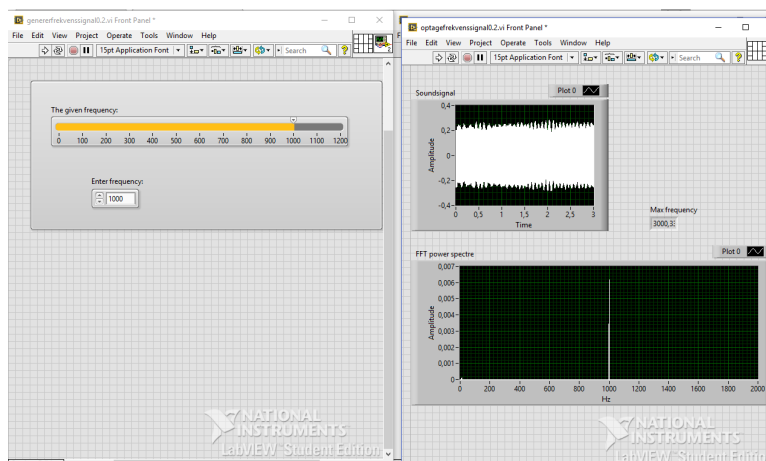
Figur 4.26: Resultat for for bordtest 4 ved anvendelse af 200 Hz



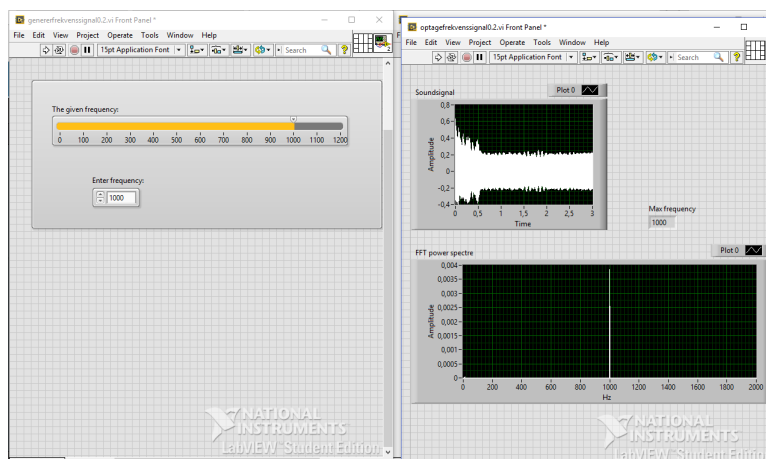
Figur 4.27: Resultat for $I04-H2/M1/VI02G/VI02Q$ ved anvendelse af 500 Hz

Diskussion

Ved forsøget med 1000 Hz observeres, at de to resultater ikke er tilnærmelsesvis ens. I første forsøg blev en harmonisk overtone opfanget, som den maksimale frekvens, hvor der i andet forsøg blev opfanget grundtonen på den genererede frekvens. Det



Figur 4.28: Resultat for for $I04-H2/M1/VI02G/VI02Q$ ved anvendelse af 1000 Hz



Figur 4.29: Resultat for for $I04-H2/M1/VI02G/VI02Q$ ved anvendelse af 1000 Hz

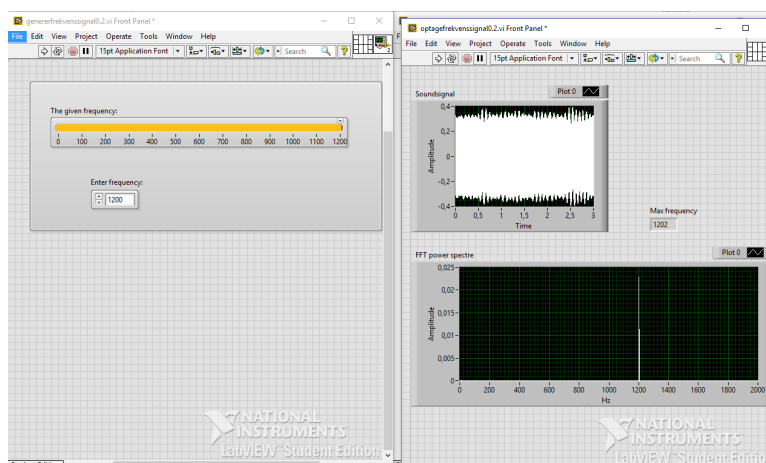
er et meget divergerende resultat, men hvad kan årsagen være til at der måles så forskellige tal?

Konklusion

testhypotesen afkastes. Ved generering af frekvenser lavere end 1000 Hz opfanges harmoniske overtoner, i stedet for grundtonen, som er det ønskede resultat. Ved generering af frekvenser lig 1000 Hz opfanges ustabile resultater. Ved generering af frekvenser højere end 1000 Hz, opnås pæne resultater, hvor den genererede frekvens er lig den opfangede frekvens. Dermed konkluderes, at resonatoren i dette tilfælde ikke virker dæmpende på harmoniske overtoner på frekvenser lavere end 1000 Hz.

Aktion

Det skal undersøges, om målinger genereret med en frekvens lig eller højere end 1000 Hz er stabile.



Figur 4.30: Resultat for $I04-H2/M1/VI02G/VI02Q$ ved anvendelse af 1200 Hz

4.3.5 $I05-H2/M1/VI02G/VI02Q$

Testhypotese

Er firkantsignaler genereret med frekvenser lig eller højere end 1000 Hz stabile og HelmHoltzresonatoren har på indvirkning på signalet.

Produktspecifikationer

Hardware:

Højttaler: Wide Band 2.5" SB65WBAC25-4

Højttalerkabel: Rød/Sort

Kabelsko: Rød fladstik hun, str. 0.25-1.65 mm², 6.6 mm bred fladstik

2 stk. Male Single Row Pin Header Strip 2.54 mm.

Krympeflex 2:1

Arduino Mega 2560 R3

Minijack PC Mikrofon

PC

USB kabel Hi-speed 2.0 shield 28AWG/2C+24AWG/2C Han USB A - Han USB B

Tryksprøjte NSG 150 - Neptun (resonator)

Lineal

Software:

NI LabVIEW 2014

NI VISA 15.0.1

VI Package Manager

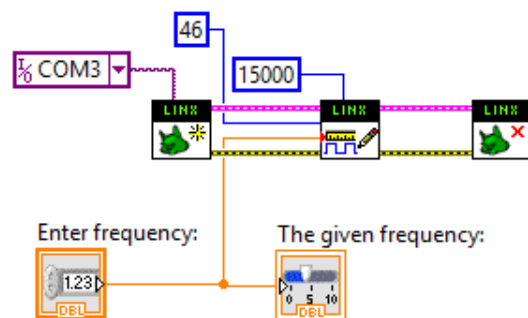
ARDUINO 1.6.12

Opstilling og opsætning

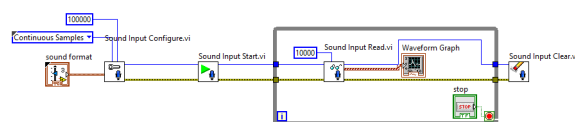
Højtalerkablets ene ende er påsat kabelsko, som er påsat højtaleren. Til kablets anden ende er pin headerne loddet fast og forsejlet med krympeflex. Pin headerne er isat Arduino'en i pin 46 (PL3(OC5A)), som et er digitalt PWM output, og til ground (GND). Arduino'en er med et USB kabel koblet til PC'en. Mikrofonen er sat i PC'ens minijack-stik og er ført ned i resonatoren hvor den ligger i bunden. Højtaleren placeres i en afstand på en halv diameter af højtalere ns membran, ovenfor resonatore ns hals.

På PC'en er VI'erne *genererfrekvenssignal02.vi* og *optagefrekvenssignal02.vi* åbnet i LabVIEW og blokdiagrammerne er vist i figur 4.31 og 4.32

Testopstillingen er den samme som i bordtest 4, og vises i figur 4.25.



Figur 4.31: Blokdiagrammet for *genererfrekvenssignal02.vi*



Figur 4.32: Blokdiagram for *optagefrekvenssignal01.VI*

Udførsel

1. Tryksprøjtgedelen afmonteres af beholderen og fungere nu som resonator. Resonatoren stilles på et bord med halsen pegende opad.
2. Mikrofonen føres ned i resonatoren og ligger i resonatore ns bund.

3. Linealen påsættes resonatorens hals så den fungere som afstandsmåler fra halsåbningen.
4. Højtaleren holdes manuelt over resonatorhalsen i en afstand på en halv diameter af højtalermembranen. Ved anvendelse af den specificerede højtaler er afstanden to centimeter.
5. I VI'et `genererfrekvenssignal02.vi` indtastes den ønskede frekvens i den numeriske kontrol *Enter Frequency*.
6. Koden eksekveres ved at trykke på *Run*.
7. I VI'et `optagefrekvenssignal02.vi` trykkes på *Run*.
8. Den maksimale optagede frekvens aflæses i *Max Frequency*.

Testen udføres med en frekvens på 950 Hz, 1000 Hz, 1100 Hz, 1200 Hz og 1300 Hz. Testen foretages to gange med hver frekvens.

Resultater

Ud fra tabellen ses at de opfangede signaler er stabile ved alle udsendte frekvenser. Det ses ydermere at de afsendte signaler ikke ser ud til at være påvirket af Helmholtzresonatoren

Diskussion

Variationen på de opfangede frekvenser er tilfredsstillende til brug i det videre udviklingsforløb. De optagede frekvenser afviger ikke fra de udsendte frekvenser selvom de udsendte frekvenser er opfanget i resonatoren. Det er Helmholtz resonansen som ønskes opfanget og den formodes at afvige fra den udsendte frekvens. Dette er dog ikke tilfældet i denne tests resultater. Det undres over de optagede frekvenser ikke er påvirkede af resonatoren og der sås nu tvivl minijack mikrofonen opfanger signalerne eller om det er PC mikrofonen som opfanger signalerne

Tabel 4.10: Tabel over resultater

Udsendt frekvens [Hz]	1. resultat	2. resultat
950	954.33	954.33
1000	1000.00	1000.00
1100	1101.33	1101.33
1200	1202.00	1202.00
1300	1302.00	1302.00

Konklusion

Hypotesen afkastedes. Frekvenser over 950 Hz kan opfanges som grundtonen og det opfangede signal er ikke forstyrret af de harmoniske overtoner. Det ser ikke ud til at de opfangede frekvenser ikke er påvirket af resonatoren, hvilket vil være forventeligt. Det konkluderes at det er nødvendigt at undersøge om minijack mikrofonen opfanger de afsendte signaler.

Aktion

Der udføres en ny enhedstest af minijack mikrofonen for at klarlægge om mikrofonen opfanger signalerne.

4.3.6 I06-H3/M4/VI05O**Testhypotese**

Resonansfrekvensen f_0 i den tomme resonator kan opfanges og volumen udregnes. Volumenudregning med brug af f_0 stemmer overens med resonatorens kendte volumen af resonatoren.

Produktspecifikationer*Hardware:*

Multimedia USB Speaker HP-1800

Electret Microphone Amplifier - MAX4466

Multifunction Data Acquisition (DAQ) USB-6009

Tryksprøjte NSG 150 - Neptun

Danalim klæbemasse 312

Lineal

MY DOUGH modellervoks

Etronit MBM PhenolicMelamine plade

PC

Software:

NI LabVIEW 2014

LabVIEW2014-NI-DAQmx-14

www.onlinetonegenerator.com

Opstilling og opsætning

Flasken er skruet af tryksprøjten, og bunden er savet af i et lige snit. Denne flaske har funktionen som resonator i testen. Resonatoren vises i figur 4.33. Resonatoren er placeret på pladen, og er tætnet med modellervoks i kanten mellem resonator og plade. Trykventilen på flasken er også tætnet med modellervoks. En lineal er påsat flaskehalsen, og benyttes til afstandsmåling. Mikrofonen er monteret på resonatorens inderside med klæbemasse. Mikrofonen placeres mindre end resonatorhalsens længde fra resonatorhalsens indre åbning. Mikrofonen er endvidere tilkoblet DAQ'en, som er tilsluttet PC'en. På PC'en er LabVIEW VI'et `optagefrekvenssignal05.vi` åbnet. Blokdiagrammet vises i figur 4.34. Højttaleren er tilsluttet PC'en, og `www.onlinetonegenerator.com` er åbnet i en browser, hvor pink noise genereres. Højttaleren holdes i en afstand på en halv diameter af halsåbningen fra halsens indgangen.

Volumet af flasken er udregnet ved at hælde vand i resonatoren, og derefter måle vandets vægt. Ud fra vandets vægt kunne volumen gives.

$$V = \frac{m}{\rho} \quad (4.2)$$

$$V_{\text{resonator}} = \frac{1698 \text{ } \mu\text{g}/\text{cm}^3}{1000 \text{ kg}/\text{m}^3} \quad (4.3)$$

$$V_{\text{resonator}} = \frac{1671 \text{ } \mu\text{g}/\text{cm}^3}{1000 \text{ kg}/\text{m}^3} = 1,671 \text{ m}^3 = 1,671 \text{ L} \quad (4.4)$$

Volumet bestem ud fra den målte resonansfrekvens er gjort på følgende måde.

Helmholtz resonansen i en tom resonator er givet ved følgende formel:

$$f_0 = \frac{c}{2\pi} \sqrt{\frac{S_p}{V(l_p + \Delta l)}} \quad (4.5)$$

hvor

f_0 : resonansfrekvens i en tom resonator $[Hz]$,

c : lydens hastighed i luft $[m/s]$,

S_p : tværsnitsareal af port $[m^2]$,

V : statisk volumen af resonator $[m^3]$,

l_p : længde af port $[m]$,

Δl : endekorrektion $[m]$

Lydens hastighed i luft c er givet ved formelen:

$$c = 331,5 \text{ m/s} \cdot \sqrt{\frac{T_K}{273,15 \text{ K}}} \quad (4.6)$$

hvor T_K er givet ved

$$T_K = t_C + 273,15 \text{ K} \quad (4.7)$$

. Derved kan lydens hastighed i luft ved en temperatur på 23°C bestemmes:

$$c = 331,5 \text{ m/s} \cdot \sqrt{\frac{296,15 \text{ K}}{273,15 \text{ K}}} = 345,175 \text{ m/s} \quad (4.8)$$

Tværsnitsarealet S_p af porten bestemmes ved:

$$S_p = r^2 \pi \quad (4.9)$$

hvor r er radius af porten. Derved bliver S_p ved en radius på $1,75 \text{ cm}$:

$$S_p = (0,0175 \text{ m})^2 \pi = 0,000962 \text{ m}^2 \quad (4.10)$$

Volumen af resonatoren V er ekskl. port/ hals. Volumen er udregnet ved at hælde vand i resonatoren, og derefter måle vandets vægt. Ud fra vandets vægt kan volumen gives vha. følgende formel:

$$V = \frac{m}{\rho} \quad (4.11)$$

\Downarrow

$$V_{\text{resonator}} = \frac{1,671 \text{ kg}}{1000 \text{ kg/m}^3} = 0,001671 \text{ m}^3 \quad (4.12)$$

Endekorrektionen Δl er en værdi som tillægges, som korrektion for den medsvingende luft, der i resonatoren fungerer som masse.

Δl gives ved:

$$\Delta l = 0,6 \cdot r + \frac{8}{3\pi} \cdot r \quad (4.13)$$

↓

$$\Delta l = 0,6 \cdot 0,0175 \text{ m} + \frac{8}{3\pi} \cdot 0,0175 \text{ m} = 0,157 108 \text{ m} \quad (4.14)$$

Resonansfrekvens f_0 i en tom resonator ved en lufttemperatur på 23°C er altså:

$$f_0 = \frac{c}{2\pi} \sqrt{\frac{S_p}{V(l_p + \Delta l)}} \quad (4.15)$$

↓

$$f_0 = \frac{345,175 \text{ m/s}}{2\pi} \sqrt{\frac{0,000 962 \text{ m}^2}{0,001 671 \text{ m}^3(0,034 \text{ m} + 0,157 108 \text{ m})}} \quad (4.16)$$

↓

$$f_0 = 95,3497 \text{ s}^{-1} \cong 95,4 \text{ Hz} \quad (4.17)$$

Udførsel

1. Pink noise genereres fra www.onlinetonegenerator.comud gennem højttaleren.
2. Gentagelse af antal loops i blokdiagrammet sættes til 10, og der optages 4 sekunder af gangen.
3. Der trykkes *Run* i VI'et.
4. Resonansfrekvens f_0 aflæses i *Resonansfrekvens af kammer med objekt*.

Resultater

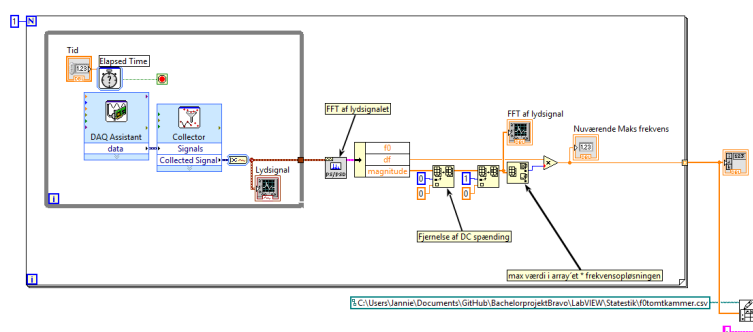
4.3.7 Bordtest nr. 6.1 - resonansfrekvens i tomt kammer

Testformål

Det ønskes, at finde resonansfrekvensen f_0 i den tomme resonator, således denne kan verificeres i forhold til resonatorens kendte volumen.



Figur 4.33: Resonator fremstillet af Tryksprøjte NSG 150 - Neptun.



Figur 4.34: Blokdiagram for LabVIEW VI'et optagefrekvenssignal05.vi.

Produktspecifikationer

Hardware:

Multimedia USB Speaker HP-1800

Electret Microphone Amplifier - MAX4466

Multifunction Data Acquisition (DAQ) USB-6009

Tryksprøjte NSG 150 - Neptun

Danalim klæbemasse 312

3D-printet holder til Multimedia USB Speaker HP-1800

MY DOUGH modellervoks

Etronit MBM PhenolicMelamine plade

Tabel 4.11: Tabel over resultater

#	f_0 [Hz]
1	179,394
2	183,692
3	204,948
4	216,2
5	218,8
6	232,2
7	240,6
8	260,5
9	255,9
10	251,3

PC

Termometer

Software:

NI LabVIEW 2014

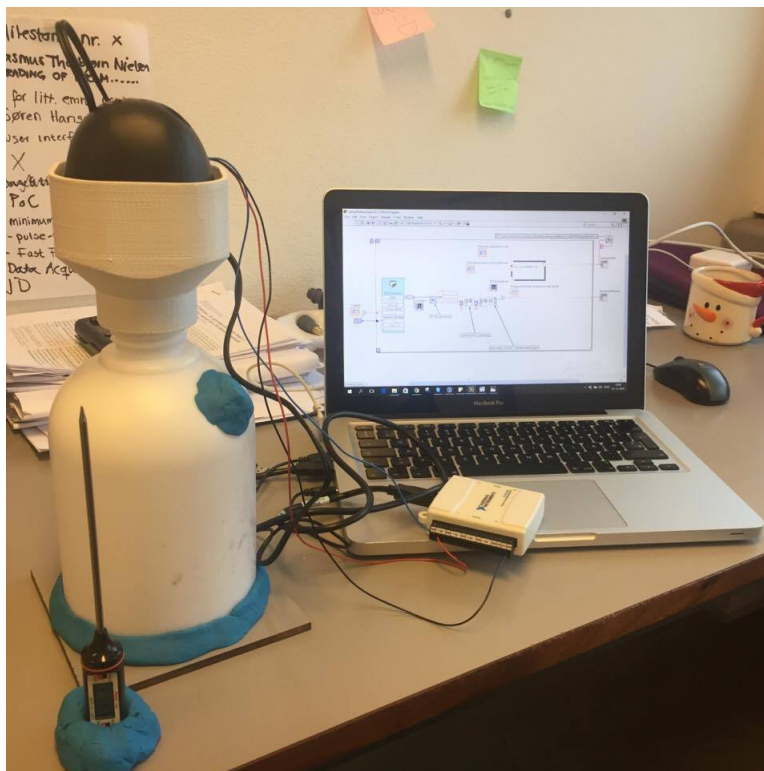
LabVIEW2014-NI-DAQmx-14

www.onlinetonegenerator.com

Opstilling og opsætning

Flasken er skruet af tryksprøjten, og bunden er savet af i et lige snit. Denne flaske har funktionen som resonator i testen. Resonatoren vises i figur 4.33. Resonatoren er placeret på pladen, og er tætnet med modellervoks i kanten mellem resonator og plade. Trykventilen på flasken er også tætnet med modellervoks. Mikrofonen er monteret på resonatorens inderside med klæbemasse. Mikrofonen placeres mindre end resonatorhalsens længde fra resonatorhalsens indre åbning. Mikrofonen er endvidere tilkoblet DAQ'en, som er tilsluttet PC'en. På PC'en er LabVIEW VI'et `optagefrekvenssignal05.vi` åbnet. Blokdiagrammet vises i figur 4.34. En 3D-printet holder er skruet på flaskens gevind. Holderen sikrer, at højttaleren holdes i en afstand på \geq en diameter af halsåbningen fra halsens indgangen. Højttaleren er tilsluttet PC'en, og www.onlinetonegenerator.com åbnet i en browser, hvor pink

noise genereres. Et termometer sættes til at måle rumtemperaturen, imens testen udføres.



Figur 4.35: Opstillingen for testen fremgår af denne figur

Udførsel

1. Pink noise genereres fra www.onlinetonegenerator.comud gennem højttaleren.
2. Gentagelse af antal loops i blokdiagrammet sættes til 100, og der optages 4 sekunder af gangen.
3. Der trykkes *Run* i VI'et.
4. Resonansfrekvens f_0 aflæses i *Resonansfrekvens af kammer med objekt*.

Resultater

Rumtemperatur: 23.7°C

f_0 udregnet ud fra Helmholtz resonans ligningen:

$$f_0 = \frac{c}{2\pi} \sqrt{\frac{S_p}{V(l_p + \Delta l)}} \quad (4.18)$$

,

hvor c er givet ved:

$$c = 331,5 \text{ m/s} \cdot \sqrt{\frac{T_K}{273,15 \text{ K}}} \quad (4.19)$$

, og T er bestemt ved.:

$$T_K = t_C + 273,15 \text{ K} \quad (4.20)$$

Tværsnitsarealet S_p er bestemt ved

$$S_p = r^2 \pi \quad (4.21)$$

Endvidere er Δl bestemt ved:

$$\Delta l = 0,6 \cdot r + \frac{8}{3\pi} \cdot r \quad (4.22)$$

$$S_p = r^2 \pi \quad (4.23)$$

4.3.8 Bordtest 6.2 - test med tre balloner med forskellig volumen

Testformål

Gul ballon: 216 g. svarende til et volumen på: 0,000216 m³

Blå ballon: 383 g. svarende til et volumen på: 0,000383 m³

Tabel 4.12: Tabel over resultater

#	f_0 [Hz]
1	
2	
3	
4	
5	
6	
7	
8	
9	
10	

Grøn ballon: 516 g. svarende til et volumen på: 0,000516 m³

Rumtemperatur: 23,2°C

f_0 ved 23.2°C: 96.4 s

Gul ballon: f_b burde dermed være: 103.3 s (var 150 s) Blå ballon: f_b burde dermed være: 109.8 s (var 152 s) Grøn ballon: f_b burde dermed være: 115.9 s (var 159 s)

Find en plads til det her 5

5.1 Bestemmelse af volumen af resonator

Volumen af resonatoren skal kendes for at bestemme resonansfrekvensen i det tomme kammer. Volumen er udregnet ved at hælde vand i resonatoren, og derefter måle vandets vægt. Ud fra vandets vægt kunne volumen gives.

$$V = \frac{m}{\rho} \quad (5.1)$$

$$V_{\text{resonator}} = \frac{1698 \text{ } \mu\text{g}/\text{cm}^3}{1000 \text{ kg}/\text{m}^3} \quad (5.2)$$

$$V_{\text{resonator}} = 1,698 \text{ m}^3 = 1,698 \text{ L} \quad (5.3)$$

5.1.1 Bestemmelse af volumen af resonator ekskl. halsvolumen

Volumen af resonatoren ekskl. halsvolumen er udregnet på samme fremgangsmåde ved brug af ligning 5.11.

$$V_{\text{resonator}} = \frac{1671 \text{ } \mu\text{g}/\text{cm}^3}{1000 \text{ kg}/\text{m}^3} = 1,671 \text{ m}^3 = 1,671 \text{ L} \quad (5.4)$$

5.2 Udregning af volumen

Helmholtz resonansen i en tom resonator er givet ved følgende formel:

$$f_0 = \frac{c}{2\pi} \sqrt{\frac{S_p}{V(l_p + \Delta l)}} \quad (5.5)$$

hvor

f_0 : resonansfrekvens i en tom resonator $[Hz]$,

c : lydens hastighed i luft $[m/s]$,

S_p : tværsnitsareal af port $[m^2]$,

V : statisk volumen af resonator $[m^3]$,

l_p : længde af port $[m]$,

Δl : endekorrektion $[m]$

Lydens hastighed i luft c er givet ved formelen:

$$c = 331,5 \text{ m/s} \cdot \sqrt{\frac{T_K}{273,15 \text{ K}}} \quad (5.6)$$

hvor T_K er givet ved

$$T_K = t_C + 273,15 \text{ K} \quad (5.7)$$

. Derved kan lydens hastighed i luft ved en temperatur på 23°C bestemmes:

$$c = 331,5 \text{ m/s} \cdot \sqrt{\frac{296,15 \text{ K}}{273,15 \text{ K}}} = 345,175 \text{ m/s} \quad (5.8)$$

Tværsnitsarealet S_p af porten bestemmes ved:

$$S_p = r^2 \pi \quad (5.9)$$

hvor r er radius af porten. Derved bliver S_p ved en radius på $1,75 \text{ cm}$:

$$S_p = (0,0175 \text{ m})^2 \pi = 0,000962 \text{ m}^2 \quad (5.10)$$

Volumen af resonatoren V er ekskl. port/ hals. Volumen er udregnet ved at hælde vand i resonatoren, og derefter måle vandets vægt. Ud fra vandets vægt kan volumen gives vha. følgende formel:

$$V = \frac{m}{\rho} \quad (5.11)$$

\Downarrow

$$V_{\text{resonator}} = \frac{1,671 \text{ kg}}{1000 \text{ kg/m}^3} = 0,001671 \text{ m}^3 \quad (5.12)$$

Endekorrektionen Δl er en værdi som tillægges, som korrektion for den medsvingende luft, der i resonatoren fungerer som masse.

Δl gives ved:

$$\Delta l = 0,6 \cdot r + \frac{8}{3\pi} \cdot r \quad (5.13)$$

\Downarrow

$$\Delta l = 0,6 \cdot 0,0175 \text{ m} + \frac{8}{3\pi} \cdot 0,0175 \text{ m} = 0,157 108 \text{ m} \quad (5.14)$$

Resonansfrekvens f_0 i en tom resonator ved en lufttemperatur på 23°C er altså:

$$f_0 = \frac{c}{2\pi} \sqrt{\frac{S_p}{V(l_p + \Delta l)}} \quad (5.15)$$

\Downarrow

$$f_0 = \frac{345,175 \text{ m/s}}{2\pi} \sqrt{\frac{0,000 962 \text{ m}^2}{0,001 671 \text{ m}^3(0,034 \text{ m} + 0,157 108 \text{ m})}} \quad (5.16)$$

\Downarrow

$$f_0 = 95,3497 \text{ s}^{-1} \cong 95,4 \text{ Hz} \quad (5.17)$$

Litteratur

Bilag A

Her er bilag A's indhold

TADAAAAAA :D

Bilag B

Og her kommer bilag B's indhold